

**การวิเคราะห์การทำงานของมอเตอร์ซิงโครนัส 3 เฟสในลักษณะ  
ที่แรงดันไฟฟ้าไม่สมดุล**

**ANALYSIS UNBALANCED VOLTAGE OPERATIONS OF  
A SYNCHRONOUS MOTOR 3 PHASE**

นายคฑาภาณุ กำมา รหัส 48364272  
นายพัชรพล ตาลดา รหัส 49381018

วันที่ออกใบอนุญาตการอบรมศาสตร์	19 ม.ค. 2555
เลขที่券	15737990
นามผู้อบรมเมืองเดลี	ดร.
หน่วยกิต	111/17

2552

ปริญญา妮พนธ์นี้เป็นส่วนหนึ่งของการศึกษาหลักสูตรปริญญาวิศวกรรมศาสตรบัณฑิต  
สาขาวิชาจักรกลไฟฟ้า ภาควิชาจักรกลไฟฟ้าและคอมพิวเตอร์  
คณะวิศวกรรมศาสตร์ มหาวิทยาลัยแม่ฟ้า  
ปีการศึกษา 2552



## ใบรับรองปริญญาบัตร

ชื่อหัวข้อโครงการ	การวิเคราะห์การทำงานของมอเตอร์ซิงโครนัส 3 เฟสในสถานะที่แรงดันไฟฟ้าไม่สมดุล		
ผู้ดำเนินโครงการ	นายคฑาภูช	ก้ามนา	รหัส 48364272
	นายพัชรพล	ตาตตา	รหัส 49381018
ที่ปรึกษาโครงการ	ดร. สมพร เรืองสินชัยวนิช		
สาขาวิชา	วิศวกรรมไฟฟ้า		
ภาควิชา	วิศวกรรมไฟฟ้าและคอมพิวเตอร์		
ปีการศึกษา	2552		

คณะกรรมการศาสตร์ มหาวิทยาลัยเรศวร อนุมัติให้ปริญญาบัตรฉบับนี้เป็นส่วนหนึ่ง  
ของการศึกษาตามหลักสูตรวิศวกรรมศาสตรบัณฑิต สาขาวิชาวิศวกรรมไฟฟ้า

ที่ปรึกษาโครงการ

(ดร. สมพร เรืองสินชัยวนิช)

กรรมการ

(อาจารย์แสงชัย มังกรทอง)

กรรมการ

(ดร. พรพิคุทธิ์ วรรณคณ์)

<b>ชื่อหัวข้อโครงการ</b>	การวิเคราะห์การทำงานของมอเตอร์ซิง โครนัส 3 เฟสในสภาวะที่แรงดันไฟฟ้าไม่สมดุล		
<b>ผู้ดำเนินโครงการ</b>	นายคากาูช กำนา	รหัส 48364272	
	นายพัชรพล ตาคลตา	รหัส 49381018	
<b>ที่ปรึกษาโครงการ</b>	ดร.สมพร เรืองกิจชัยวนิช		
<b>สาขาวิชา</b>	วิศวกรรมไฟฟ้า		
<b>ภาควิชา</b>	วิศวกรรมไฟฟ้าและคอมพิวเตอร์		
<b>ปีการศึกษา</b>	2552		

### บทคัดย่อ

สภาวะแรงดันไฟฟ้าไม่สมดุลในระบบส่งจ่ายกำลังไฟฟ้าเกิดขึ้นเป็นประจำ โดยมีสาเหตุหลายประการ ขณะมอเตอร์ซิง โครนัส ได้รับแรงดันไฟฟ้าไม่สมดุลจากระบบ มอเตอร์จะมีพารามิเตอร์ในการทำงานแตกต่างออกไป ส่งผลให้ประสิทธิภาพการทำงานของมอเตอร์น้อยลง และอาจจะทำความเสียหายกับมอเตอร์ได้ เมื่อเทียบกับการทำงานในสภาวะแรงดันไฟฟ้าสมดุล โครงการนี้เป็นการศึกษาการทำงานของมอเตอร์ซิง โครนัสเมื่อได้รับแรงดันไฟฟ้าไม่สมดุล โดยทดสอบมอเตอร์ในสภาวะแรงดันไฟฟ้าไม่สมดุลเงื่อนไขแตกต่างกันแล้วบันทึกค่าพารามิเตอร์ต่างๆ จากนั้นนำงจรสมมูลของมอเตอร์ซิง โครนัส 3 เฟสมาวิเคราะห์สภาวะการทำงานและหาข้อสรุปถึงผลกระทบที่มีต่อมอเตอร์เมื่อได้รับแรงดันไฟฟ้าไม่สมดุล

<b>Project title</b>	Analysis Unbalanced Voltage Operations of a Synchronous Motor	
	3 Phase	
<b>Name</b>	Mr. Katawut Kumma	ID. 48364272
	Mr. Pacharapon Talta	ID. 49381018
<b>Project advisor</b>	<u>Mr. Somporn Ruangsinchaiwanich, Ph.D</u>	
<b>Major</b>	Electrical Engineering	
<b>Department</b>	Electrical and Computer Engineering	
<b>Academic year</b>	2009	

### Abstract

The unbalanced voltage conditions in a distribution system can regularly occur due to various causes. When a Synchronous motor is supplied by the unbalanced voltages from the system, the parameters of the motor are different from their parameters in a balanced voltage condition and affect to the efficiency of motor will be dropped and may be damage to motor when compare to its balanced voltage conditions. This project aims to study the operations of Synchronous motor in several conditions. For example, different unbalanced voltage conditions and records the values of parameters. The equivalent circuits of three-phase Synchronous motor are used to analyses the unbalanced operating conditions of the motors.

## กิติกรรมประกาศ

การที่ข้าพเจ้าได้จัดทำโครงการเรื่อง การวิเคราะห์การทำงานของมอเตอร์ไซด์โกรนัส 3 เพ斯  
ในสภาพที่แרגดันไฟฟ้าไม่ ตั้งแต่เดือน พฤษภาคม พ.ศ. 2552 ถึง เดือน มิถุนายน พ.ศ. 2553  
ส่งผลให้ข้าพเจ้าได้รับความรู้ และประสบการณ์ต่าง ๆ ที่มีค่ามาก many สำหรับโครงการชนิดนี้ สำเร็จ  
ลงได้ด้วยดีจากความร่วมมือและสนับสนุนอย่างฝ่ายดังนี้

- |                    |                 |                         |
|--------------------|-----------------|-------------------------|
| 1. ดร.สมพร         | เรืองสินชัยวนิช | อาจารย์ที่ปรึกษาโครงการ |
| 2. นายกฤณา         | สมจิตชอบ        | ครูช่าง                 |
| 3. นายณัฐภัทร      | นักยิ่งพงษ์ดาวร | ครูช่าง                 |
| 4. นายมนพนท์       | ฟิกเอม          | ครูช่าง                 |
| 5. นายเกรียงศักดิ์ | ไกรกิจราษฎร์    | นิสิตปริญญาโท           |

และบุคคลท่านอื่น ๆ ที่ไม่ได้กล่าวไว้สกุลทุกท่านที่ได้ให้คำแนะนำช่วยเหลือในการจัดทำ  
รายงานฉบับนี้

ข้าพเจ้าโครงขอขอบพระคุณผู้ที่มีส่วนเกี่ยวข้องทุกท่าน ที่มีส่วนร่วมในการให้ข้อมูล เป็นที่  
ปรึกษาในการทำโครงการนี้ ณ เสรีสมบูรณ์ ตลอดจนให้การคุ้มครอง และให้ความเข้าใจเกี่ยวกับการ  
ทำโครงการ

ผู้จัดทำรายงาน

นายคฑาภาณุ กำนา  
นายพัชรพล ตาลตา

# สารบัญ

หน้า

ใบรับรองปริญญานิพนธ์.....	ก
บทคัดย่อภาษาไทย.....	ข
บทคัดย่อภาษาอังกฤษ.....	ค
กิตติกรรมประกาศ.....	ง
สารบัญ.....	จ
สารบัญตาราง.....	ฉ
สารบัญรูป.....	ฉ

## บทที่ 1 บทนำ

1.1 ความเป็นมาและความสำคัญ.....	1
1.2 วัตถุประสงค์ของโครงการ.....	1
1.3 ขอบเขตของโครงการ.....	1
1.4 แผนการดำเนินงาน.....	2
1.5 ประโยชน์ที่คาดว่าจะได้รับ.....	2
1.6 งบประมาณ.....	2

## บทที่ 2 ทฤษฎีพื้นฐานที่ใช้ภายในโครงการ

2.1 ทฤษฎีของมอเตอร์ซิงโกรนัส 3 เฟส.....	3
2.1.1 โครงสร้างและส่วนประกอบของมอเตอร์ซิงโกรนัส.....	3
2.1.2 หลักการทำงานของมอเตอร์ซิงโกรนัส.....	4
2.1.3 การเริ่มเดินமอเตอร์ซิงโกรนัส.....	6
2.1.4 มอเตอร์ซิงโกรนัสข้อมูล.....	10
2.1.5 การปรับแต่งค่าตัวประกอบกำลังของมอเตอร์ซิงโกรนัส.....	12
2.1.6 กำลังสูงสุดและแรงบิดสูงสุดในมอเตอร์ซิงโกรนัส.....	14
2.1.7 เฟสเซอร์ไดอะแกรมของมอเตอร์ซิงโกรนัส.....	16
2.2 ประสิทธิภาพของมอเตอร์ซิงโกรนัส.....	23
2.3 ซิงโกรนัสคอนเดนเซอร์.....	24

## สารบัญ(ต่อ)

หน้า

### บทที่ 3 การทดสอบและวิธีการทดสอบ

3.1 การทดสอบทางสมมูลของมอเตอร์ซิงโกรนัส.....	26
3.1.1 วิธีการทดสอบหากความต้านทานอาร์เมเนเจอร์.....	27
3.1.2 วิธีทดสอบแบบเปิดวงจร.....	28
3.1.3 วิธีทดสอบแบบลัดวงจร.....	29
3.2 การทดสอบในสภาวะที่แรงดันไฟฟ้าไม่สมดุลขณะไร์ภาระทางกลและขณะขับภาระทางกล.....	30
3.2.1 การทดสอบกับมอเตอร์เห็นี่ยวนำ.....	31
3.3 รายการอุปกรณ์ที่ใช้ในการทดสอบ.....	32

### บทที่ 4 ผลที่ได้จากการทำการทดลอง

4.1 ผลการทดสอบทางสมมูลของมอเตอร์ซิงโกรนัส.....	33
4.1.1 ผลการทดสอบหากความต้านทานสเตเตอเร.....	33
4.1.2 การทดสอบภาวะเปิดวงจร (Open Circuit Test).....	33
4.1.3 การทดสอบภาวะลัดวงจร (Short Circuit Test).....	34
4.1.4 วงจรสมมูลของมอเตอร์ซิงโกรนัสที่ได้จากการทดสอบ.....	35
4.2 ค่าปริมาณของแรงดันไฟฟ้าป้อนเข้าในสภาวะไม่สมดุล.....	36
4.3 ค่ากระแสไฟฟ้าและกำลังไฟฟ้าที่ได้จากการทดสอบมอเตอร์เห็นี่ยวนำในสภาวะที่แรงดันไฟฟ้าไม่สมดุล ขณะไร์ภาระทางกล.....	38
4.4 ค่ากระแสไฟฟ้าและกำลังไฟฟ้าที่ได้จากการทดสอบมอเตอร์เห็นี่ยวนำในสภาวะที่แรงดันไฟฟ้าไม่สมดุล ขณะขับภาระทางกล.....	39
4.5 ค่าตัวประกอนกำลังไฟฟ้าที่ได้จากการทดสอบมอเตอร์ซิงโกรนัสในสภาวะที่แรงดันไฟฟ้าไม่สมดุลขณะขับภาระทางกล.....	43
4.6 กราฟตัวประกอนกำลังไฟฟ้าในสภาวะโหลดพิกัด.....	47
4.7 กำลังสูญเสียในขดลวด.....	49
4.8 ประสิทธิภาพ.....	51

## สารบัญ(ต่อ)

หน้า

### บทที่ 5 บทสรุปและวิจารณ์โครงการ

5.1 วิเคราะห์และสรุปผลการทดสอบ.....	53
5.1.1 วิเคราะห์และสรุปผลการทดสอบการทดสอบมอเตอร์ ในสภาวะไร้ภาระทางกล.....	53
5.1.2 วิเคราะห์และสรุปผลการทดสอบการทดสอบมอเตอร์ ในสภาวะขับภาระทางกล.....	53
5.1.3 อกบิประยผลการวิจัย.....	53
5.2 กราฟเปรียบเทียบกระแสระหว่าง No_Load กับ Full_Load.....	54
5.3 กราฟเปรียบเทียบประสิทธิภาพ No_Load กับ Full_Load.....	56
5.4 ข้อเสนอแนะ.....	56
5.5 ปัญหาและอุปสรรคที่พบในการทำโครงการ.....	56
เอกสารอ้างอิง.....	57
ภาคผนวก.....	58
ประวัติผู้เขียนโครงการ.....	61

## สารบัญตาราง

ตารางที่	หน้า
4.1.1 ตารางแสดงผลการทดสอบหาค่าความด้านทานสเตเตอร์.....	33
4.1.2 ตารางแสดงแรงดันไฟฟ้าจากการทดสอบภาวะเปิดวงจร.....	33
4.2 ตารางแสดงค่าแรงดันไฟฟ้าป้อนเข้าในสภาวะไม่สมดุลจากนิยามของ PVUR (%).....	37
4.3 ตารางค่ากระแสไฟฟ้าและกำลังไฟฟ้าขณะไร้ภาระทางกล.....	38
4.4 ตารางค่ากระแสไฟฟ้าและกำลังไฟฟ้าขณะขับภาระทางกล.....	39
4.5 ตารางค่าตัวประกอนกำลังไฟฟ้าขณะขับภาระทางกล.....	43
4.7 ตารางกำลังสูญเสียในDUCT.....	49
4.8 ตารางประสิทธิภาพ.....	51



## สารบัญรูป

รูปที่	หน้า
2.1 มอเตอร์มอเตอร์ชิ้ง โกรนัส.....	3
2.2 สเตเตอร์ของมอเตอร์ชิ้ง โกรนัส.....	4
2.3 โรเตอร์ของมอเตอร์ชิ้ง โกรนัส .....	4
2.4 แสดงตำแหน่งของขั้วแม่เหล็กที่สเตเตอร์และโรเตอร์.....	5
2.5 แสดงทิศทางการเคลื่อนที่ของขั้วแม่เหล็กที่สเตเตอร์และโรเตอร์.....	6
2.6 ขดลวดแคมเปอร์ของมอเตอร์ชิ้ง โกรนัส.....	7
2.7 โรเตอร์แบบซิมเพลกซ์.....	8
2.8 การต่อต้นกำลังเพื่อเริ่มเดินมอเตอร์ชิ้ง โกรนัส.....	9
2.9 ปฏิกริยาสนามแม่เหล็กขณะมอเตอร์ชิ้ง โกรนัสทำงาน.....	10
2.10 เฟสเซอร์ไดอะแกรมของแรงดันที่ป้อนเข้ามอเตอร์ชิ้ง โกรนัสกับแรงคลื่อนไฟฟ้าต้านกัด.....	11
2.11 เฟสเซอร์ไดอะแกรมของมอเตอร์ชิ้ง โกรนัส.....	11
2.12 เฟสเซอร์ไดอะแกรมของมอเตอร์ชิ้ง โกรนัสเมื่อมีโหลด.....	13
2.13 เฟสเซอร์ไดอะแกรมของมอเตอร์ชิ้ง โกรนัสเมื่อขับโหลดที่มีค่าตัวประกอบกำลังนำหน้า.14	14
2.14 เฟสเซอร์ไดอะแกรมของมอเตอร์ชิ้ง โกรนัสเมื่อมีโหลด และค่าตัวประกอบกำลังของมอเตอร์ มีค่าเป็นหนึ่ง .....	17
2.15 เฟสเซอร์ไดอะแกรมของมอเตอร์ชิ้ง โกรนัสเมื่อมีโหลดและมีค่าตัวประกอบกำลังของ มอเตอร์เป็นหนึ่ง เอียน โดยใช้กระแสเป็นแกนอ้างอิง.....	17
2.16 เฟสเซอร์ไดอะแกรมของมอเตอร์ชิ้ง โกรนัสเมื่อมีโหลด และมีค่าตัวประกอบกำลังของ มอเตอร์นำหน้า เอียน โดยใช้แรงดันเป็นแกนอ้างอิง.....	18
2.17 เฟสเซอร์ไดอะแกรมของมอเตอร์ชิ้ง โกรนัสเมื่อมีโหลด และมีค่าตัวประกอบกำลังของ มอเตอร์นำหน้า เอียน โดยใช้กระแสเป็นแกนอ้างอิง.....	19
2.18 เฟสเซอร์ไดอะแกรมของมอเตอร์ชิ้ง โกรนัสเมื่อมีโหลด และมีค่าตัวประกอบกำลังของ มอเตอร์ล้าหลังเอียน โดยใช้กระแสเป็นแกนอ้างอิง.....	19
2.19 เฟสเซอร์ไดอะแกรมของมอเตอร์ชิ้ง โกรนัสเมื่อมีโหลด และมีค่าตัวประกอบกำลังของ มอเตอร์ล้าหลังเอียน โดยใช้กระแสเป็นแกนอ้างอิง.....	20
2.20 เมื่อค่าตัวประกอบกำลังเป็นหนึ่งและไม่คิดค่า $R_a$ .....	21
2.21 เมื่อค่าตัวประกอบกำลังนำหน้า และไม่คิดค่า $R_a$ .....	22

## สารบัญรูป(ต่อ)

รูปที่	หน้า
2.22 เมื่อค่าตัวประกอบกำลังตัวหลังและไม่มีคิดค่า R .....	22
2.23 ผังการไฟฟ้าของพลังงานอินพุตและเอาต์พุตของมอเตอร์ชิ้งโกรนัส.....	23
2.24 เพสเซอร์โดยรวมของมอเตอร์ชิ้งโกรนัสมะมีและไม่มีโหลด.....	25
3.1 วงจรสมมูลของมอเตอร์ชิ้งโกรนัส.....	26
3.2 วงจรทดสอบหาค่าความต้านทานอาร์เมเจอร์.....	27
3.3 วงจรทดสอบแบบเบื้องต้น.....	28
3.4 กราฟแสดงผลการทดสอบด้วยวิธีทดสอบแบบเบื้องต้นและวิธีการทดสอบแบบลึกดูงจรอ.....	28
3.5 วงจรทดสอบแบบลึกดูงจรอ.....	29
3.6 วงจรการทดสอบมอเตอร์ชิ้งโกรนัสในสถานะที่แรงดันไฟฟ้าไม่สมดุล.....	31
3.7 การทดสอบมอเตอร์ชิ้งโกรนัส.....	32
4.1 กราฟแสดงความสัมพันธ์ระหว่างค่าเฉลี่ยแรงเกลื่อนไฟฟ้าเหนี่ยวน้ำกับค่ากระแสไฟตรง.....	34
4.2 แสดงความสัมพันธ์ระหว่างกระแสลักดูงจรอในสถานะคงตัวกับค่ากระแสไฟตรง.....	34
4.3 วงจรสมมูลของมอเตอร์ชิ้งโกรนัสที่ได้จากการทดสอบ.....	35
4.4 ตัวประกอบกำลังที่สถานะ Under Voltage 1 Phase.....	47
4.5 ตัวประกอบกำลังที่สถานะ Over Voltage 2 Phase.....	47
4.6 ตัวประกอบกำลังที่สถานะ Over Voltage 1 Phase.....	48
4.7 ตัวประกอบกำลังที่สถานะ Under Voltage 2 Phase.....	48
5.1 กราฟเปรียบเทียบกระแสไฟฟ้า Under Voltage 1 Phase.....	54
5.2 กราฟเปรียบเทียบกระแสไฟฟ้า Under Voltage 2 Phase.....	54
5.3 กราฟเปรียบเทียบกระแสไฟฟ้า Over Voltage 1 Phase.....	55
5.4 กราฟเปรียบเทียบกระแสไฟฟ้า Over Voltage 1 Phase.....	55
5.5 กราฟเปรียบเทียบประสิทธิภาพ.....	56

## บทที่ 1

### บทนำ

#### 1.1 ความเป็นมาและความสำคัญ

ในปัจุบันได้มีการนำเอามอเตอร์ซิงโกรนัส 3 เฟสมาใช้อบาย่างแพร่หลาย มอเตอร์ซิงโกรนัส 3 เฟส โดยปกติจะมีช่วงอายุการใช้งานของมอเตอร์นั้นๆ อยู่ อายุการใช้งานอาจจะขึ้นอยู่กับวัสดุ หรือวิธีการผลิตและการใช้งาน และยังมีสาเหตุอื่นที่ทำให้อายุการใช้งานของมอเตอร์ซิงโกรนัส 3 เฟสสั้นลงอาทิ เช่น แรงดันไฟฟ้าตกและมอเตอร์ทำงานเกินพิกัดกำลังเป็นต้น โครงการนี้จึงช่วยบอกสาเหตุของความผิดปกติของมอเตอร์ซิงโกรนัสและสามารถเดือนว่ามอเตอร์กำลังจะมีปัญหา เพื่อจะได้ป้องกันหรือแก้ไขปัญหาได้ทันการ

#### 1.2 วัตถุประสงค์ของโครงการ

โครงการนี้มุ่งเน้นการศึกษาเพื่อหาข้อสรุปถึงผลกระทบที่เกิดขึ้นจากการทำงานภายใต้ สภาวะความไม่สมดุลของแรงดันไฟฟ้าของมอเตอร์ซิงโกรนัส รวมทั้งสังเกตุว่าค่าพารามิเตอร์ต่างๆ มีแนวโน้มการเปลี่ยนแปลงอย่างไรเมื่อพิจารณาความคู่กันไปกับแนวโน้มของการเปลี่ยนแปลงซึ่ง ได้จากการคำนวณโดยใช้ทฤษฎีที่เกี่ยวข้องประกอบกันเพื่อหาข้อสรุปถึงผลกระทบที่เกิดขึ้นกับ มอเตอร์ซิงโกรนัสเมื่อได้รับแรงดันไฟฟ้าไม่สมดุล

#### 1.3 ขอบเขตของโครงการ

โครงการนี้เป็นการศึกษาสภาวะการทำงานของมอเตอร์ซิงโกรนัสในสภาวะแรงดันไฟฟ้า ไม่สมดุล การศึกษาโครงการจะแบ่งสภาวะความไม่สมดุลของแรงดันไฟฟ้าออกเป็น 2 สภาวะคือ แรงดันไฟฟ้าไม่สมดุลสูงกว่าปกติ (Over Voltage Unbalance) และแรงดันไฟฟ้าไม่สมดุลต่ำ กว่าปกติ (Under Voltage Unbalance) โดยกำหนดให้ระดับของแรงดันไฟฟ้าระดับปกตินิค่าเท่ากับ 220 โวลต์ ( $V_{ac}$ ) นอกจากนี้ยังแบ่งกรณีความไม่สมดุลของแรงดันไฟฟ้าในแต่ละสภาวะข้างต้นทั้ง 2 สภาวะออกเป็น 2 กรณีคือ ความผิดปกติที่เกิดขึ้นกับแรงดันไฟฟ้า 1 เฟส และความผิดปกติที่เกิด ขึ้นกับแรงดันไฟฟ้า 2 เฟส

การศึกษาของโครงการเลือกจ่ายแรงดันไฟฟ้าไม่สมดุล 5 ระดับ 1%, 2%, 3%, 4% และ 5% ให้กับมอเตอร์ซิงโกรนัสทั้งในขณะไร้ภาระทางกลและขณะขับภาระทางกล

#### 1.4 แผนการดำเนินงาน

รายละเอียด						
	ม.ค.	ก.พ.	มี.ค.	เม.ย.	พ.ค.	มิ.ย.
1. รวบรวมข้อมูล						
2. ศึกษาเรื่องของ แรงดันตกแรงดันเกิน						
3. ทดสอบมอเตอร์ในสภาวะที่แรงดันไม่สมดุล						
4. สรุปผลการทดลองและทำรูปเล่นรายงาน						

#### 1.5 ประโยชน์ที่คาดว่าจะได้รับ

1. สามารถวิเคราะห์ปัญหาที่เกิดขึ้นกับมอเตอร์ซิงโกรนัส 3 เฟสได้
2. สามารถนำความรู้ที่ได้มานาบริสิ่งกันมอเตอร์ซิงโกรนัส 3 เฟสเสียหายได้
3. สามารถนำความรู้ไปเผยแพร่เพื่อให้เกิดประโยชน์

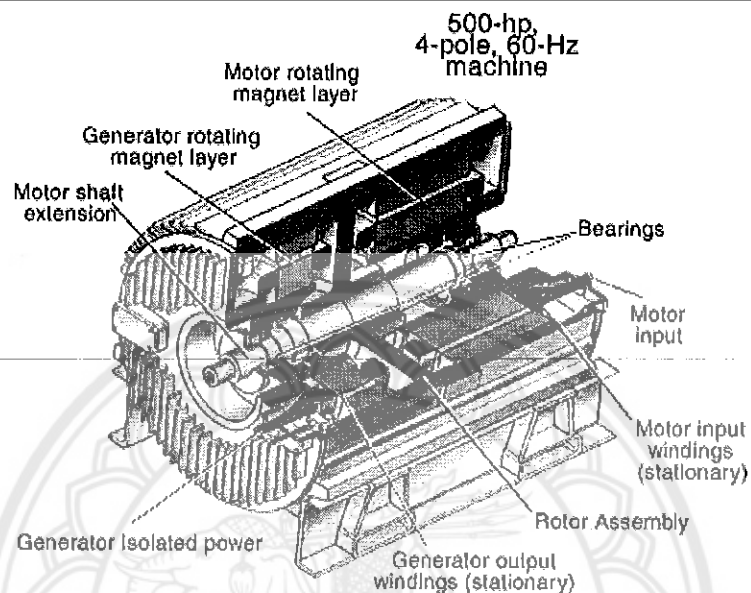
#### 1.6 งบประมาณ

ค่าอุปกรณ์	2,000	บาท
ค่าจัดทำรายงาน	1,000	บาท
รวมเป็นเงิน (สามพันบาทถ้วน)	3,000	บาท
หมายเหตุ : ถ้าแล้วถูกยกการ		

## บทที่ 2

# ทฤษฎีพื้นฐานที่ใช้ภายในโครงงาน

### 2.1 มอเตอร์ซิงโกรนัส



รูปที่ 2.1 มอเตอร์ซิงโกรนัส [1]

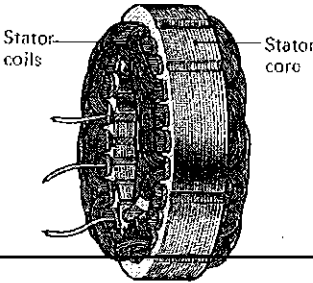
มอเตอร์ซิงโกรนัส (Synchronous Motor) เป็นมอเตอร์กระแสลับ 3 เฟส มีข้อดีคือ อาร์เมเนเจอร์ซึ่งเป็นส่วนที่อยู่กับที่และมีข้อดีคือสามารถแม่เหล็กเป็นส่วนที่หมุน คุณสมบัติเด่น หมุน ด้วยความเร็วที่คงที่ โดยมีค่าเท่ากับความเร็วซิงโกรนัสไม่ว่าจะมีโหลดขนาดเท่าใดก็ตาม และหาก การเปลี่ยนแปลงของโหลดไม่เกินค่าพิกัดมอเตอร์ซิงโกรนัสแล้ว ความเร็วของมอเตอร์ซิงโกรนัส จะยังคงที่เสมอ โดยขึ้นอยู่กับ ความถี่ของแหล่งจ่ายไฟสลับ 3 เฟสและจำนวนขั้วแม่เหล็กของ มอเตอร์

#### 2.1.1 โครงสร้างและส่วนประกอบของมอเตอร์ซิงโกรนัส

มอเตอร์ซิงโกรนัสมีส่วนประกอบที่สำคัญ 2 ส่วนคือ

##### ■ สเตเตอร์ (Stator)

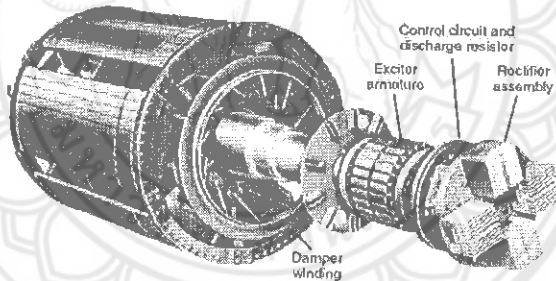
เป็นส่วนที่สำคัญของมอเตอร์ที่ใช้สำหรับพันขดลวดอาร์เมเนเจอร์ โดยมีแกนแม่เหล็กที่ทำด้วย แผ่นแม่เหล็กบางๆ วางอัดซ้อนกันเรียกว่าแผ่นลามิเนต (Laminate Sheet) เพื่อลดการสูญเสียด้าน กระแสไฟในแกนแม่เหล็ก (Eddy Current Loss) และแกนแม่เหล็กสเตเตอร์จะเป็นล่องสลือต เพื่อ ใช้สำหรับพันขดลวดอาร์เมเนเจอร์



รูปที่ 2.2 สเตเตอร์ของมอเตอร์ซิงโกรนัส [2]

#### ■ โรเตอร์ (Rotor)

เป็นส่วนที่เคลื่อนที่ของมอเตอร์ และทำหน้าที่เป็นสนามแม่เหล็กให้เกิดขั้วเหนือและขั้วใต้ สลับกัน โดยจะพันด้วยสนามแม่เหล็กต่ออนุกรมสลับกันไปมา และปลายทั้งสองข้างของ ขดลวดสนามแม่เหล็กต่อเข้ากับสตีบปริ่งเพื่อเป็นทางเดินทางกระแสไฟฟ้า และตัวโรเตอร์จะสร้าง จากเฟ่นเหล็กตามมาตรฐาน คังແಡคงในรูปที่ 2.3 เป็นโรเตอร์แบบขั้วแม่เหล็กยื่น (Salient Pole) โดย ค้านบนของโรเตอร์สามารถผึงติดขดลวดช่วยสตาร์ตมอเตอร์ที่เรียกว่า ขดลวดแคมเปอร์ (Damper Winding)



รูปที่ 2.3 โรเตอร์ของมอเตอร์ซิงโกรนัส [3]

#### 2.1.2 หลักการทำงานของมอเตอร์ซิงโกรนัส

เนื่องจากมอเตอร์ซิงโกรนัสกับเครื่องกำเนิดไฟฟ้าซิงโกรนัส คือเครื่องกลไฟฟ้าที่มีโครงสร้าง เหมือนกัน ถ้าต่อไฟฟ้ากระแสสลับ 3 เฟสเข้าที่ขดลวดสเตเตอร์ของมอเตอร์ซิงโกรนัส จะเกิด สนามแม่เหล็กหมุนอยู่รอบๆ สเตเตอร์ของมอเตอร์ซิงโกรนัส ความเร็วของสนามแม่เหล็กหมุนนี้ เท่ากับความเร็วซิงโกรนัส สำหรับโรเตอร์จะเป็นขดลวดสนามแม่เหล็กเมื่อจ่ายไฟตรงให้ขดลวด สนามแม่เหล็กจะเกิดขั้วแม่เหล็กขึ้นที่โรเตอร์ ขั้วแม่เหล็กนี้จะหมุนเคาะติดไปกับสนามแม่เหล็ก หมุนของสเตเตอร์ ทำให้เพลาของมอเตอร์ซิงโกรนัสหมุนไปด้วยความเร็วซิงโกรนัส ความเร็ว ซิงโกรนัสหาได้ดังนี้

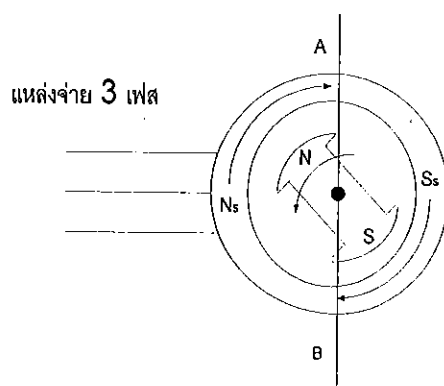
$$N_s = \frac{120f}{p} \quad (2.1)$$

เมื่อ

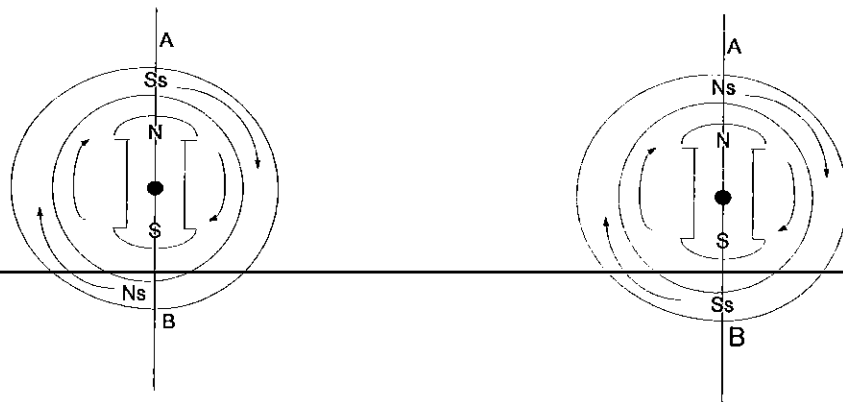
 $N_s$  = ความเร็วชิงโกรนัส (rpm) $f$  = ความถี่ของแรงดันไฟฟ้าลับที่จ่ายให้สเตเตอร์ (Hz) $p$  = จำนวนขั้วแม่เหล็กของสเตเตอร์

### ■ สนามแม่เหล็กหมุน

เมื่อจ่ายแรงดันไฟฟ้ากระแสสลับ 3 เฟสให้กับขดลวดที่สเตเตอร์ของซิงโกรนัสสมอเตอร์ (สมมุติให้เป็นมอเตอร์ชั้น 2 ขั้ว) จะทำให้เกิดสนามแม่เหล็กขึ้นที่สเตเตอร์เป็น 2 ขั้ว คือ เหนือและใต้ ซึ่งแทนด้วย  $N_s$  และ  $S_s$  และสนามแม่เหล็กนี้จะเกิดการหมุนที่ความเร็วชิงโกรนัส โดยให้มีทิศทางการหมุนตามเข็มนาฬิกาและมีตำแหน่งของขั้วแม่เหล็กที่โรเตอร์ดังแสดงในรูปที่ 2.4 และถ้าสมมุติให้ตำแหน่งขั้วแม่เหล็กที่เกิดขึ้นขั้วนะนั้นอยู่ที่ตำแหน่ง A และตำแหน่ง B โดยให้  $N_s$  อยู่ที่ตำแหน่ง A และ  $S_s$  อยู่ที่ตำแหน่ง B จะเห็นได้ว่ามีขั้วที่เหมือนกันอยู่ 2 คู่ขั้ว คือขั้ว N ของโรเตอร์ กับ  $N_s$  ของสเตเตอร์ และขั้ว S ของโรเตอร์กับ  $S_s$  ของสเตเตอร์ ซึ่งผลลัพธ์ที่ได้จากขั้วแม่เหล็กทั้ง 4 นี้ คือการเกิดแรงดักซึ่งกันและกัน โดยแรงดักนี้จะทำให้โรเตอร์เริ่มเคลื่อนที่ไปในทิศทางวนเข็มนาฬิกาในช่วงครึ่งไฟเดิมแรกของแรงดันไฟฟ้าที่จ่ายให้กับสเตเตอร์ แต่ว่าในช่วงครึ่งไฟเดิมหลังของแรงดันไฟฟ้าที่จ่ายให้กับสเตเตอร์นั้น จะเห็นว่าขั้วแม่เหล็กของสนามแม่เหล็กที่สเตเตอร์จะหมุนเคลื่อนที่ไป 180 องศาไฟฟ้านั้นคือตำแหน่ง A บนสเตเตอร์จะถอยเป็นขั้ว  $S_s$  ส่วนตำแหน่ง B จะถอยเป็นขั้ว  $N_s$  เมื่อเป็นเช่นนี้ก็จะเกิดแรงดักกันขึ้นระหว่างขั้วแม่เหล็ก  $N_s$  กับขั้ว S ของโรเตอร์ และขั้ว  $S_s$  จะถูกกับขั้ว N ของโรเตอร์ ดังนี้จากเหตุผลดังที่กล่าวมาจึงทำให้โรเตอร์หมุนในทิศทางตามเข็มนาฬิกา (ซึ่งมีทิศทางตรงกันข้ามกับครึ่งแรก) ดังนี้จากเหตุผลดังที่กล่าวมาจึงทำให้โรเตอร์ไม่สามารถรับการเปลี่ยนแปลงของขั้วแม่เหล็กที่สเตเตอร์ ซึ่งหมุนไปอย่างรวดเร็ว ทั้งนี้เพราะว่าตัวโรเตอร์เองมีความเคลื่อนยิงไม่อาจทำให้โรเตอร์หมุนไปในทางใดทางหนึ่งได้ นั่นคือโรเตอร์จะหยุดอยู่กับที่



รูปที่ 2.4 แสดงตำแหน่งของขั้วแม่เหล็กที่สเตเตอร์และโรเตอร์

(ก) ข้าว  $N_s$  ไปเป็นข้าว  $S_s$ (ข) ข้าว  $S_s$  ไปเป็นข้าว  $N_s$ 

รูปที่ 2.5 แสดงทิศทางการเคลื่อนที่ของข้าวแม่เหล็กที่สเตเตอร์และโรเตอร์

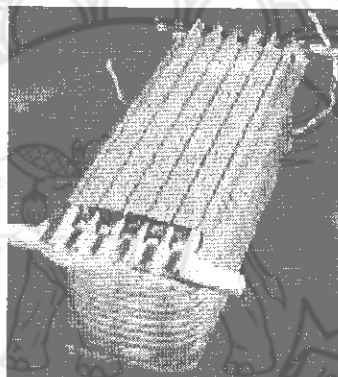
ในขณะเดียวกันถ้าพิจารณาในสภาวะของรูปที่ 2.5 (ก) ข้าวแม่เหล็กที่สเตเตอร์และโรเตอร์จะเกิดการคูณซึ่งกันและกัน โดยสมมติให้โรเตอร์ไม่หมุนอยู่กับที่ แต่มีการหมุนไปในทิศทางตามเข็มนาฬิกา คือ หมุนผ่านไปเป็นระบบหนึ่งข้าวแม่เหล็ก (Pole-Pitch) โดยในเวลาเดียวกันนี้ ข้าวแม่เหล็กที่สเตเตอร์จะเปลี่ยนจากข้าว  $N_s$  ไปเป็นข้าว  $S_s$  และจาก  $S_s$  ไปเป็น  $N_s$  ดังแสดงในรูป 2.5 (ข) ที่ตำแหน่งนี้จะเห็นได้ว่าข้าวแม่เหล็กระหว่างสเตเตอร์กับโรเตอร์จะเกิดการคูณซึ่งกันและกัน อีก ซึ่งก็หมายความว่า ข้าวแม่เหล็กที่โรเตอร์เปลี่ยนตำแหน่งไปตามการเปลี่ยนตำแหน่งของ ข้าวแม่เหล็กที่สเตเตอร์ ดังนั้นจึงมีผลทำให้โรเตอร์หมุนไปในทิศทางเดียวกันกับข้าวแม่เหล็กที่หมุนที่สเตเตอร์ และเป็นไปอย่างต่อเนื่อง นั่นคือโรเตอร์จะหมุนไปในทิศทางตามเข็มนาฬิกาดังแสดงในรูปที่ 2.5

### 2.1.3 การเริ่มเดินมอเตอร์ชิ้งโกรนัส

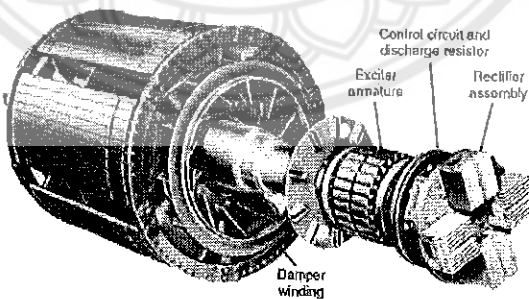
เมื่อสนามแม่เหล็กหมุนเกิดขึ้นกับสเตเตอร์ เมื่อจ่ายแหล่งจ่ายไฟลับ 3 เฟสและความเร็วของสนามแม่เหล็กหมุนจะทำให้กับความเร็วชิงโกรนัส โรเตอร์ของมอเตอร์ชิ้งโกรนัสจะถูกกว้างในสนามแม่เหล็กหมุน ดังนั้นเมื่อกระแสตู้นกระแสสนามแม่เหล็กที่คลอดสนามแม่เหล็กบนโรเตอร์ จะเกิดข้าวแม่เหล็กขึ้นรอบๆ โรเตอร์ ข้าวแม่เหล็กนี้จะดึงดูดกับสนามแม่เหล็กหมุนของสเตเตอร์ ผลคือจะเกิดแรงบิดขึ้นที่โรเตอร์ทำให้โรเตอร์หมุนหากไปกับสนามแม่เหล็กหมุนด้วยความเร็วเท่ากับความเร็วชิงโกรนัส แต่ในทางปฏิบัติ การเริ่มเดินมอเตอร์ชิ้งโกรนัสขนาดใหญ่จะต้องมีวิธีการเฉพาะ ซึ่งที่นิยมใช้มี 3 วิธี คือ

#### (A) วิธีการหนีบวนนำ

การเริ่มเดินด้วยวิธีการหนีบวนนำ (Induction Starting) ใช้หลักการของมอเตอร์หนีบวนนำ โดยผิงคลวตแคมเบอร์ไวบันผิวน้ำของขั้วแม่เหล็กบนโรเตอร์ทุก ๆ ขั้วเมื่อจ่ายไฟสลับ 3 เฟสเข้าไปที่สเตเตอร์ของมอเตอร์ซึ่งโกรนัสจะเกิดสนามแม่เหล็กหมุนสนามแม่เหล็กนี้จะทำให้เกิดการหนีบวนนำแรงถึงขันไฟฟ้าซึ่งที่ขัดคลวตแคมเบอร์ทำให้เกิดขั้วแม่เหล็กขันบริเวณผิวน้ำของโรเตอร์ โรเตอร์จะหมุนไปตามสนามแม่เหล็กหมุนของสเตเตอร์จนกระหั่ง โรเตอร์หมุนไปด้วยความเร็วต่ำกว่าความเร็วซึ่งโกรนัสเดิกน้อยจึงเริ่มจ่ายกระแสกระแสตู้นขดคลวตสนามแม่เหล็กของโรเตอร์ขั้วแม่เหล็กของโรเตอร์ซึ่งเกิดอย่างถาวร และคงดูดกับสนามแม่เหล็กหมุนของสเตเตอร์ และหมุนไปด้วยความเร็วเท่ากับความเร็วซึ่งโกรนัส ลักษณะของขดคลวตแคมเบอร์และการติดตั้งขดคลวตแคมเบอร์ที่ขั้วแม่เหล็กของโรเตอร์ของมอเตอร์ซึ่งโกรนัสแสดงในรูปที่ 2.6 (ก) และ (ข)



(ก) ขดคลวตแคมเบอร์ของมอเตอร์ซึ่งโกรนัส [4]

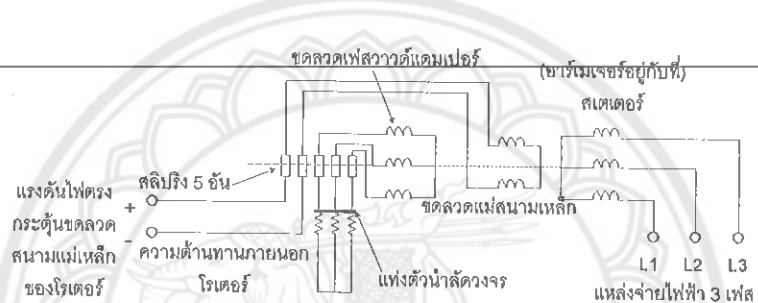


(ข) โรเตอร์ของมอเตอร์ซึ่งโกรนัส มี 6 ขั้วแม่เหล็ก 1200 rpm จะเห็นขดคลวตแคมเบอร์ที่ด้านหน้าขั้วแม่เหล็ก [5]

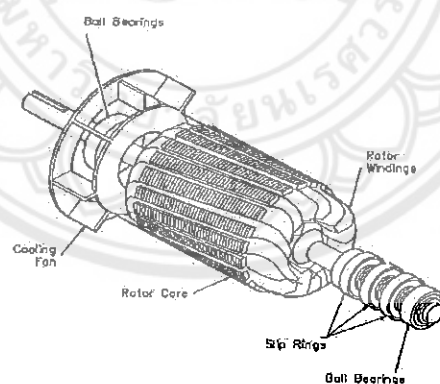
รูปที่ 2.6 ขดคลวตแคมเบอร์และการติดตั้งขดคลวตแคมเบอร์

### (B) วิธีใช้โรเตอร์แบบซิมเพลกซ์

วิธีใช้โรเตอร์แบบซิมเพลกซ์ (Simplex Rotor) คือวิธีการเพิ่มขดลวดที่โรเตอร์ โรเตอร์แบบซิมเพลกซ์จะมีขดลวดอิกชุดหนึ่งพันอยู่บนผิวน้ำของขั้วแม่เหล็กแทนขดลวดแคมเปอร์ มีชื่อว่า เฟสขาวค์แคมเปอร์ (Phase Wound Damper) โรเตอร์แบบซิมเพลกซ์จะมีสลิปปริง 5 อัน โดย 3 อัน แรกสำหรับขดลวดที่โรเตอร์ และอีก 2 อันสำหรับขดลวดสนามแม่เหล็ก การเริ่มเดินมอเตอร์ ซึ่งโกรนัสแบบโรเตอร์ซิมเพลกซ์จะใช้หลักการเดียวกันกับการเริ่มเดินมอเตอร์เห็นี่ยวน้ำแบบ โรเตอร์พันขดลวด (Wound Rotor Induction Motor) วงจรของมอเตอร์ซึ่งโกรนัสที่มีโรเตอร์แบบซิมเพลกซ์แสดงในรูปที่ 2.7 (ก) และลักษณะภายนอกและสลิปปริงของโรเตอร์แบบซิมเพลกซ์แสดงในรูปที่ 2.7 (ข)



(ก) วงจรของมอเตอร์ซึ่งโกรนัสที่มีโรเตอร์แบบซิมเพลกซ์เพื่อใช้ในการเริ่มเดิน



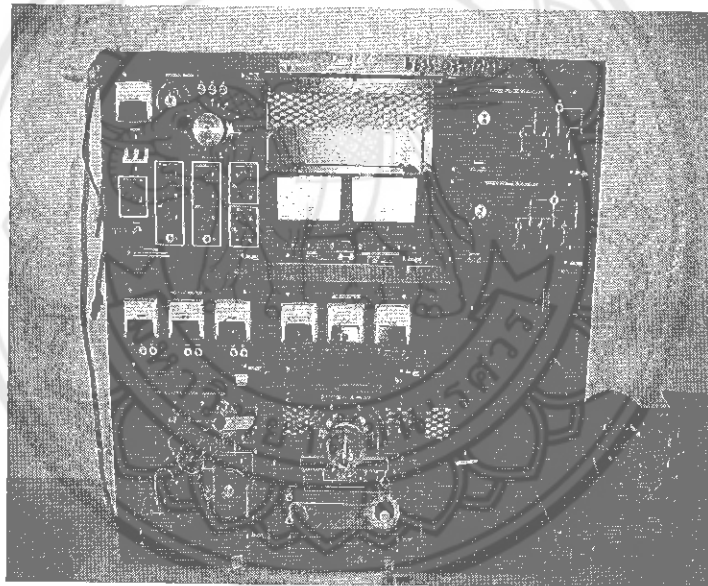
(ข) ลักษณะภายนอกของโรเตอร์แบบซิมเพลกซ์[6]

รูปที่ 2.7 โรเตอร์แบบซิมเพลกซ์

มอเตอร์ซึ่งโกรนัสที่เริ่มเดินด้วยโรเตอร์แบบซิมเพลกซ์นี้จะให้แรงบิดตอนเริ่มหมุนสูงมากกว่า 3 เท่าของแรงบิดเมื่อโหลดเต็มพิกัด บางครั้งจึงเรียกมอเตอร์ซึ่งโกรนัสที่มีโรเตอร์แบบซิมเพลกซ์ว่า มอเตอร์ซึ่งโกรนัสที่มีแรงบิดเริ่มหมุนสูง (High-Starting-Torque Synchronous Motor)

### (C) วิธีขับหัวยานกำลัง

วิธีขับโดยใช้ต้นกำลัง (Prime Mover) ตอกับเพลาของมอเตอร์ซิงโกรนัส นิยมใช้มอเตอร์ไฟฟ้ากระแสสลับเป็นตัวขับ โดยให้มอเตอร์ซิงโกรนัสทำงานเป็นเครื่องกำเนิดไฟฟ้าซิงโกรนัส เพิ่มความเร็วของตัวขับเพื่อให้มอเตอร์ซิงโกรนัสหมุนไปที่ความเร็วพิกัด และป้อนกระแสกระแสตุนขดความต้านทานแม่เหล็กให้มอเตอร์ซิงโกรนัส ตรวจสอบลำดับเฟสให้ถูกต้อง วัดแรงคันที่ขับของมอเตอร์ซิงโกรนัสเท่าแรงดันพิกัด และให้ใช้สวิตซ์ 3 เฟสบนนานมอเตอร์ซิงโกรนัส ชั่งขณะนี้ทำงานเป็นเครื่องกำเนิดไฟฟ้าซิงโกรนัส เข้ากับแหล่งจ่ายไฟฟ้า 3 เฟสของระบบจำหน่าย เมื่อขบวนได้แล้วให้ตัดแหล่งจ่ายมอเตอร์กระแสตรงที่เป็นต้นกำลังออก ขณะนี้มอเตอร์ซิงโกรนัสจะเคลื่อนทำงานเป็นเครื่องกำเนิดไฟฟ้าจะทำงานเป็นมอเตอร์ซิงโกรนัสอย่างสมบูรณ์ สำหรับมอเตอร์กระแสตรงที่เป็นต้นกำลังจะทำหน้าที่เป็นโหลดของมอเตอร์ซิงโกรนัส ลักษณะของการต่อมอเตอร์มอเตอร์กระแสตรงเป็นต้นกำลังเพื่อเริ่มเดินมอเตอร์ซิงโกรนัส แสดงในรูปที่ 2.8

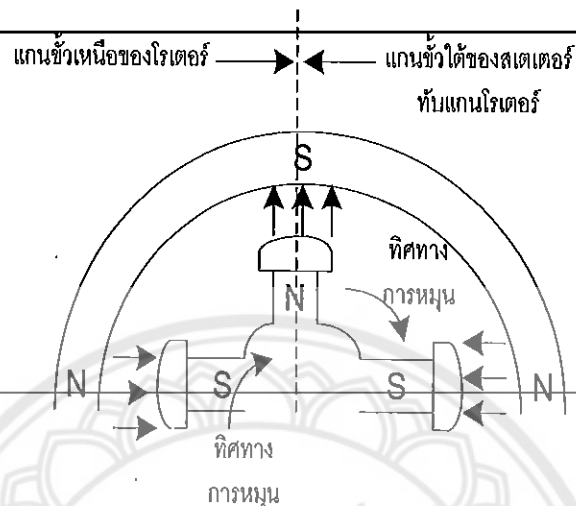


รูปที่ 2.8 การต่อต้นกำลังเพื่อเริ่มเดินมอเตอร์ซิงโกรนัส

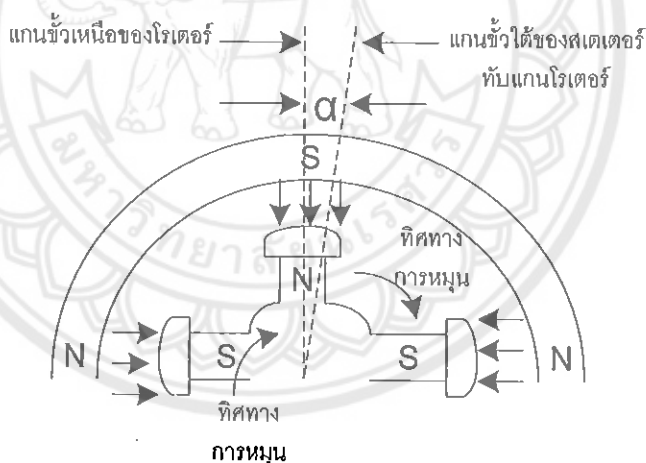
#### 2.1.4 มอเตอร์ซิงโกรนัสขบวนมีโหลด

มอเตอร์ซิงโกรนัสเมื่อทำงานโดยไม่มีโหลด ข้าวแม่เหล็กของโรเตอร์จะถูกยึดติดหรือเกาะติดกับข้าวแม่เหล็กของสเตเตอร์ ดังแสดงในรูปที่ 2.9 (ก) โดยที่แกนของข้าวแม่เหล็กข้ามหนีอของโรเตอร์จะทับกันพอดีกับแกนข้าวแม่เหล็กข้ามได้ของสเตเตอร์ และจะเกาะติดอย่างนี้ตลอดเวลา เมื่อมอเตอร์ซิงโกรนัสหมุน แต่เมื่อมอเตอร์ซิงโกรนัสมีโหลดต่ออยู่ที่เพลาของมอเตอร์ โรเตอร์ของมอเตอร์ซิงโกรนัสจะเดินโดยหลังออกไปเป็นมุมมุมหนึ่ง โดยที่ความเร็วของมันไม่ลดลง ดัง

แสดงในรูป 2.9 (ข) เรียกว่ามุมแอลฟ่า ( $\alpha$ ) หรือเรียกว่ามุมของโหลด (Load Angle) หรือมุมของแรงบิด (Torque Angle) ถ้าโหลดมีค่ามาก มุม  $\alpha$  จะกว้างมากขึ้น ถ้าโหลดมีค่าน้อย มุม  $\alpha$  จะมีค่าลดลง มุม  $\alpha$  คือมุมที่เกิดจากระยะห่างของแกนเด็นแรงแม่เหล็กของโรเตอร์กับแกนเด็นแรงแม่เหล็กของสเตเตอร์



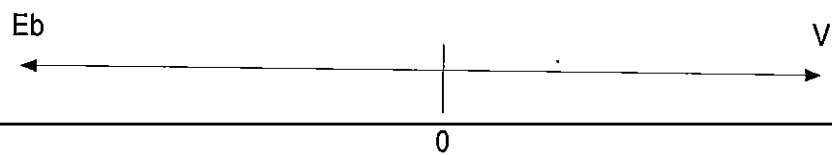
(ก) การยึดเกาะกันระหว่างขั้วแม่เหล็กของโรเตอร์กับสเตเตอร์ ขณะไม่มีโหลด



(ข) มุมโหลด ( $\alpha$ ) (Load Angle) ที่เกิดขึ้นระหว่างขั้วแม่เหล็กของโรเตอร์กับสเตเตอร์ ขณะมีโหลด

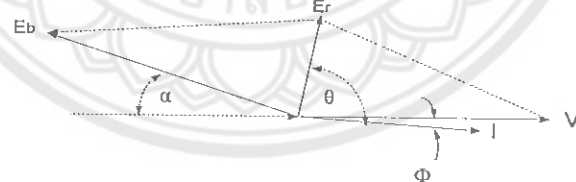
รูปที่ 2.9 ปฏิกริยาสนามแม่เหล็ก permanent magnet rotor ชิงโครนัสทำงาน

ดังนั้นมอเตอร์ซิงโกรนัสทำงานในสภาวะไม่มีโหลดและไม่คิดกำลังสูญเสียในมอเตอร์ เพสเซอร์ของแรงดันที่เกิดขึ้นกับมอเตอร์ ดังแสดงในรูปที่ 2.10

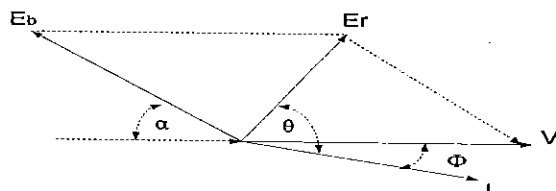


รูปที่ 2.10 เพสเซอร์ไดอะแกรมของแรงดันที่ป้อนเข้ามอเตอร์ซิงโกรนัสกับแรงดันไฟฟ้าต้านกลับ

จากรูปที่ 2.10 เมื่อกำหนดให้  $E_b$  คือแรงดันไฟฟ้าเหนี่ยวนำต้านกลับ (Back emf) โดยจะประพันตรงกับเดินแรงแม่เหล็กของโรเตอร์ เพราจะมอเตอร์ซิงโกรนัสมีความเร็วคงที่เท่ากับความเร็วซิงโกรนัส  $V$  คือแรงดันไฟฟ้าที่ขับเคลื่อนมอเตอร์ซิงโกรนัส แรงดัน  $V$  และ  $E_b$  คือแรงดันไฟฟ้าเหนี่ยวนำต้านกลับ (Back emf) จะมีเฟสตรงกันข้ามเป็นมุม  $180^\circ$  องศาและมีผลต่างของแรงดันเป็นศูนย์ ( $E_R = 0$ ) เมื่อมอเตอร์ทำงานจะไม่มีโหลด การสูญเสียในมอเตอร์ เพสเซอร์ของ  $E_b$  จะถอยหลังไปเป็นมุม  $\alpha$  จะทำให้เกิดผลต่างของแรงดัน ( $E_R$ ) ขึ้น ทำให้เกิดกระแส ( $I$ ) หากผ่านขดลวดอาร์เมเนเจอร์ เพื่อสร้างแรงบิดให้อาชนาการสูญเสีย มอเตอร์จึงหมุนไปได้ ดังแสดงในรูปที่ 2.11 (ก) เมื่อมอเตอร์ไม่มีโหลด เพสเซอร์ของแรงดัน  $E_b$  จะถอยหลังออกไปอีกทำให้มุม  $\alpha$  กว้างขึ้น จะทำให้แรงดัน  $E_R$  เพิ่มมากขึ้น และค่ากระแสในอาร์เมเนเจอร์ ( $I$ ) สูงขึ้นตามไปด้วย ดังแสดงเพสเซอร์จะมีโหลดในรูปที่ 2.11 (ข)



(ก) ขณะไม่มีโหลด



(ข) ขณะมีโหลด

รูปที่ 2.11 เพสเซอร์ไดอะแกรมของมอเตอร์ซิงโกรนัส

เมื่อมอเตอร์ซิงโกรนัสมีโหลดเพิ่มขึ้น มุม  $\alpha$  จะกว้างขึ้น และ  $E_R$  จะมากขึ้นตามไปด้วย เพื่อสร้างกระแสอาร์เมจอร์ให้มากขึ้น และจะทำให้แรงบิดที่มอเตอร์สร้างขึ้นมากตามไปด้วย ถ้า แรงบิดที่มอเตอร์สร้างขึ้นมากกว่าแรงบิดของโหลด แนะนำว่ามอเตอร์ซิงคงหมุนไปได้ตาม ความเร็วซิงโกรนัส อ่าย่างไรก็ตามหากโหลดเพิ่มมากขึ้นจนกระทั้ง โรเตอร์หลุดออกจากความเร็ว ซิงโกรนัส นั่นแสดงว่าแรงบิดของโหลดมีค่ามากกว่าแรงบิดเดิมพิกัดของมอเตอร์ประมาณ 2 เท่า 3 เท่า และแรงบิดที่มอเตอร์สร้างขึ้นจนกระทั้ง โรเตอร์หลุดออกจากความเร็วซิงโกรนัสเรียกว่า Pull-Out Torque จากเฟลเซอร์ไดอะแกรมในรูปที่ 2.11 (ข) หากค่ากระแสอาร์เมจอร์ได้ว่า

$$I = \frac{\vec{E}_R}{Z_S} \quad (2.2)$$

เมื่อกำหนดให้

$$\vec{E}_R = \vec{V} - \vec{E}_b$$

และ

$$Z_S = R_a + jX_S$$

เมื่อ

$$R_a = \text{ความต้านทานอาร์เมจอร์ต่อเฟล}$$

$$X_S = \text{รีแอคแทนซ์ซิงโกรนัสด้วยเฟล}$$

$$\theta = \text{มุมต่างเฟลของ } I \text{ กับ } E_R \approx 90^\circ$$

$$\text{ค่า } \theta \text{ หาได้จาก } \theta = \tan^{-1} \frac{X_s}{R_a}$$

$$\phi = \text{มุมเฟลของมอเตอร์หัวมุมต่างเฟลระหว่าง } I \text{ กับ } V$$

$$\alpha = \text{มุมโหลด}$$

### 2.1.5 การปรับแต่งค่าตัวประกอนกำลังของมอเตอร์ซิงโกรนัส

มอเตอร์ซิงโกรนัส สามารถปรับความเร็วของมอเตอร์ได้ด้วยการปรับความถี่ของ แหล่งจ่ายไฟสลับที่ป้อนให้กับสเตเตอเริร์ เพราะมอเตอร์ซิงโกรนัสมีความเร็วคงที่เท่ากับความเร็ว ซิงโกรนัส จากสมการ (2.1) จะสามารถทำงานได้มีค่าตัวประกอนกำลังนำหน้า (Leading) หรือ ถ้าหลัง (Lagging) โดยความเร็วขณะทำงานไม่เปลี่ยนแปลง การเปลี่ยนแปลงค่าตัวประกอนกำลัง ของมอเตอร์ซิงโกรนัสทำได้โดยการเปลี่ยนแปลงค่ากระแสกระแสคุ้นเคยคลาสนามแม่เหล็ก ( $I_f$ ) ถ้า ควบคุมให้มอเตอร์ซิงโกรนัสทำงานและขับโหลดที่ค่าคงที่ค่าได้ค่าหนึ่ง และทำการเปลี่ยนแปลง ค่ากระแสกระแสคุ้นเคยคลาสนามแม่เหล็กจากโรเตอร์ ผลคือกำลังอินพุตของมอเตอร์ซิงโกรนัสจะไม่

เปลี่ยนแปลง แต่ค่าตัวประกอบกำลังและการแสตนด์อินพุตเปลี่ยนแปลงไป พิจารณาจากเฟสเซอร์ ไดอะแกรมในรูป 2.12 (ก) เมื่อปรับค่ากระแสกราฟิกลดลงตามแม่เหล็กจนกระแสทั้งกระแสอาร์เมเจอร์ ( $I$ ) อันเพลสกับแรงดันที่ขึ้นของมอเตอร์ซิงโครนัส ( $V$ ) จะเห็นว่ากระแส ( $I$ ) ล้าหลัง  $E_R$  เป็นมุมประมาณ 90 องศา ในสภาวะนี้ค่าตัวประกอบกำลังของโหลดจะมีค่าเป็น 1 เพราะมุมเฟสเป็นศูนย์ การกระแสตู้นกระแสแสดงคลอดสนามแม่เหล็กแบบนี้เรียกว่า การกระแสตู้นปกติ (Normal Excitation)



รูปที่ 2.12 เฟสเซอร์ไดอะแกรมของมอเตอร์ซิงโครนัสเมื่อมีโหลด

จากรูปที่ 2.12 (บ) เป็นการกระแสตู้นกระแสแสดงคลอดสนามแม่เหล็กให้ลดลงต่ำกว่าปกติ (Under Excitation) เป็นผลให้ค่าแรงดัน  $E_b$  ลดลง และ  $E_R$  เปลี่ยนแปลงไป ค่ากระแส  $I$  เพิ่มขึ้น แต่ยังล้าหลัง  $V$  เป็นมุม  $\phi$  จะได้ค่าตัวประกอบกำลังของโหลดล้าหลัง สังเกตจากเฟสเซอร์ไดอะแกรมในรูปที่ 2.12 (บ) จะพบว่ากระแส  $I$  ยังคงล้าหลัง  $E_R$  อยู่เป็นมุมประมาณ 90 องศา เช่นเดิม

เมื่อพิจารณาจากรูปที่ 2.12 (ค) เป็นการกระแสตู้นกระแสแสดงคลอดสนามแม่เหล็กให้มีกระแสมากกว่ากระแสปกติ การกระแสตู้นแบบนี้ทำให้ค่าตัวประกอบกำลังมีค่าน้ำหน้า เพราะว่าเมื่อกระแสตู้นกระแสแสดงคลอดสนามแม่เหล็กให้มากกว่าปกติ จะทำให้กระแสอาร์เมเจอร์ ( $I$ ) นำหน้าแรงดันที่ขึ้น ( $V$ ) เป็นมุม  $\phi$  แต่กระแส  $I$  ยังคงล้าหลังแรงดัน  $E_R$  อยู่ประมาณ 90 องศา เช่นเดิม จากเฟสเซอร์ไดอะแกรมที่ 3 รูป จะแสดงให้เห็นชัดเจนว่าค่าตัวประกอบกำลังของมอเตอร์ซิงโครนัสจะเปลี่ยนได้โดยการเปลี่ยนแปลงค่ากระแสกราฟิกลดลงตามแม่เหล็กที่rotate ของมัน

### 2.1.6 กำลังสูงสุดและแรงบิดสูงสุดในมอเตอร์ชิ้งโกรนัส

กำลังก่อ (Mechanical Power :  $P_m$ ) คือ กำลังที่เกิดขึ้นที่โรเตอร์ สามารถหาได้จาก แรงคลื่อนไฟฟ้าหนึ่งนำต้านกลับ ( $E_b$ ) คูณด้วยกระแสอาร์เมเนเจอร์ ( $I$ ) และค่ามุมที่แตกต่างระหว่าง  $E_b$  กับ  $I$  ดังสมการต่อไปนี้

$$P_m = E_b I \cos(\alpha \pm \varphi) \quad (2.3)$$

ถ้าค่าของมุม  $\varphi$  เป็นบวก กรณีค่าตัวประกอบกำลังจะนำหน้า และถ้าค่าของมุม  $\varphi$  เป็นลบ ผลคือค่าตัวประกอบกำลังจะถ้าหลัง เมื่อกำลังก่อที่เกิดขึ้นที่โรเตอร์ต่อเฟสคือสมการที่ (2.3) ดังนั้นสมการของกำลังก่อกรณี 3 เฟส คือ

$$P_m = 3E_b I \cos(\alpha \pm \varphi) \quad (2.4)$$

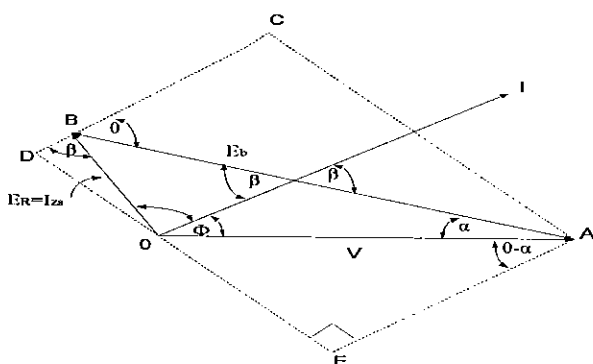
อย่างไรก็ตามแล้ว กำลังงานก่อที่เกิดขึ้นในโรเตอร์จะมีค่าเท่ากับกำลังงานไฟฟ้าทางด้านอินพุต ( $P_{in}$ ) ของมอเตอร์ชิ้งโกรนัส ลบด้วยกำลังที่สูญเสียในสเตเตอร์ (กำลังที่สูญเสียในขาดความอาร์เมเนเจอร์  $P_{js} = 3I^2 R_a$ ) ถ้าพิจารณากรณี 3 เฟส จะได้

$$P_{in} = 3VI \cos \varphi$$

$$P_{js} = 3I^2 R_a$$

นั่นคือ  $P_m = P_{in} - P_{js}$  (2.5)

เมื่อพิจารณาสมการของ  $P_m$  ในเทอมของ  $E_b$  และ  $X_s$  ให้พิจารณาจากเฟสเซอร์ 岱オゲร์ ในรูปที่ 2.13 เป็นเฟสเซอร์ของมอเตอร์ชิ้งโกรนัส เมื่อขับโลดที่มีค่าตัวประกอบกำลังนำหน้า จะได้ว่ามุม  $OAE = \theta - \alpha$  และมุม  $OBD = \beta$



รูปที่ 2.13 เฟสเซอร์岱อเกร์ของมอเตอร์ชิ้งโกรนัสเมื่อขับโลดที่มีค่าตัวประกอบกำลังนำหน้า

### จากรูปที่ 2.13 สมการกำลังกลต่อเฟสคือ

$$P_m = E_b I \cos \beta \quad (2.6)$$

เพริมาณว่า

$$BD = CD - BC$$

แต่

$$BD = IZ_s \cos \beta$$

และ

$$CD = V \cos(\theta - \alpha)$$

และ

$$BC = E_b \cos \theta$$

ดังนั้นสมการ  $BD$  คือ

$$IZ_s \cos \beta = V \cos(\theta - \alpha) - E_b \cos \theta$$

$$I \cos \beta = \frac{V}{Z_s} \cos(\theta - \alpha) - \frac{E_b}{Z_s} \cos \theta \quad (2.7)$$

แทนค่าสมการ (2.7) ลงในสมการ (2.6) ได้ว่า

$$\begin{aligned} P_m &= E_b \left( \frac{V}{Z_s} \cos(\theta - \alpha) - \frac{E_b}{Z_s} \cos \theta \right) \\ \therefore P_m &= \frac{E_b \times V}{Z_s} \cos(\theta - \alpha) - \frac{E_b^2}{Z_s} \cos \theta \end{aligned} \quad (2.8)$$

เนื่องจาก  $R_a$  มีค่าน้อยมาก สามารถถลึง หรือไม่นำมาพิจารณาในการคำนวณ ดังนั้น  $Z_s \cong X_s$  และ  $\theta \cong 90^\circ$  นั่นคือ สมการ (2.8) จะเปลี่ยนแปลงไปเมื่อ  $R_a = 0$  และ  $Z_s = X_s$  และ  $\theta = 90^\circ$  ได้ดังนี้

$$\begin{aligned} P_m &= \frac{E_b V}{X_s} \cos(90^\circ - \alpha) \\ \text{นั่นคือ} \quad P_m &= \frac{E_b V}{X_s} \sin \alpha \end{aligned} \quad (2.9)$$

กำลังทางกลสูงสุด (Maximum Mechanical Power) ที่เกิดขึ้นกับโรเตอร์ของมอเตอร์ชิ้งโกรนัส หรือ  $P_{m(\max)}$  จะเกิดขึ้นได้เมื่อมุม  $\theta$  เท่ากับมุม  $\alpha$  เป็นผลให้ค่า  $\cos(\theta - \alpha)$  มีค่าเท่ากับ 1 ดังนั้นสมการของ  $P_m$  สามารถเขียนได้ดังนี้

$$P_{m(\max)} = \frac{E_b V}{Z_s} - \frac{E_b^2}{Z_s} \cos \alpha$$

$$= \frac{E_b V}{Z_s} - \frac{E_b^2}{Z_s} \cos \theta$$

เมื่อกำหนดให้  $Z_s \cong X_s$  และ  $\theta \cong 90^\circ$  ดังนั้น

$$P_{m(\max)} = \frac{E_b V}{Z_s} = \frac{E_b V}{X_s} \quad (2.10)$$

ในท่านองเดียวกัน แรงบิดสูงสุดที่เกิดขึ้นที่เพลาของมอเตอร์ชิ่งโกรนัส คือแรงบิดที่เรียกว่า Pall Out Torque หรือ  $T_{\max}$

$$T_{\max} = \frac{9.55 P_{m(\max)}}{n_s} \quad (2.11)$$

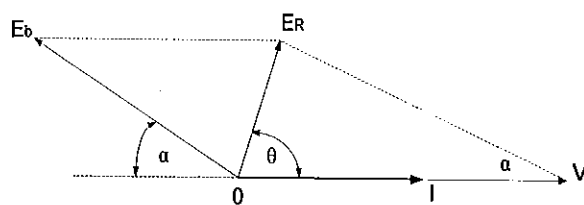
เมื่อกำหนดให้  $T_{\max}$  = แรงบิดสูงสุด (N-m)  
 $P_{m(\max)}$  = กำลังกลสูงสุด  
 $n_s$  = ความเร็วชิ่งโกรนัส (rpm)

### 2.1.7 เฟสเซอร์ไดอะแกรมของมอเตอร์ชิ่งโกรนัส

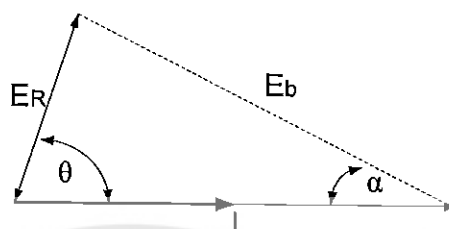
เฟสเซอร์ไดอะแกรมของมอเตอร์ชิ่งโกรนัส จะใช้ในการคำนวณหาค่ามุมโอลด์ ( $\alpha$ ) และค่าแรงเกลี้ยงไฟฟ้าเหนี่ยวนำต้านกลับ ( $E_b$ ) ที่มอเตอร์ ซึ่งจะมีรูปแบบของเฟสเซอร์เปลี่ยนแปลงไปตามค่าตัวประกอบกำลังของโอลด์ ซึ่งมี 3 กรณี คือ เมื่อโอลด์มีค่าตัวประกอบกำลังเป็นหนึ่ง และเมื่อโอลด์มีค่าตัวประกอบกำลังนำหน้าและล้าหลัง

#### A เมื่อค่าตัวประกอบกำลังหนึ่ง

เมื่อค่าตัวประกอบกำลังของมอเตอร์ชิ่งโกรนัสมีค่าเท่ากับหนึ่ง ดังนั้นสามารถเขียนเฟสเซอร์ไดอะแกรมโดยใช้แกนแรงดันเป็นแกนอ้างอิง ได้ตามรูป 2.14 (ก) หรือ 2.14 (ข)



(n)



(u)

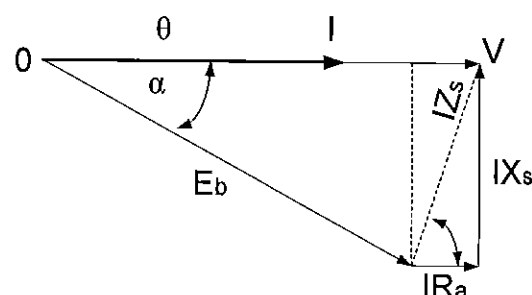
รูปที่ 2.14 เฟสเซอร์ไดอะแกรมของมอเตอร์ซิงโครนัสเมื่อมีโหลด และค่าตัวประกอบกำลังของมอเตอร์เมื่อเป็นหนึ่ง เขียนโดยใช้เรงดันเป็นแกนอ้างอิง

จากที่ 2.14 เขียนสมการ  $E_b$  และ  $\alpha$  ได้ว่า

$$E_b = \sqrt{V^2 + E_R^2 - 2VE_R \cos \theta} \quad (2.12)$$

$$\alpha = \sin^{-1} \left( \frac{E_R \sin \theta}{E_b} \right) \quad (2.13)$$

ในทำนองเดียวกันเมื่อเขียนเฟสเซอร์ไดอะแกรมของมอเตอร์ซิงโครนัสที่มีค่าตัวประกอบกำลังเท่ากับหนึ่ง สามารถใช้กราฟเป็นแกนอ้างอิงได้เช่นกัน ดังแสดงในรูปที่ 2.15



รูปที่ 2.15 เฟสเซอร์ไดอะแกรมของมอเตอร์ซิงโครนัสเมื่อมีโหลดและมีค่าตัวประกอบกำลังของมอเตอร์เป็นหนึ่ง เขียนโดยใช้กราฟเป็นแกนอ้างอิง

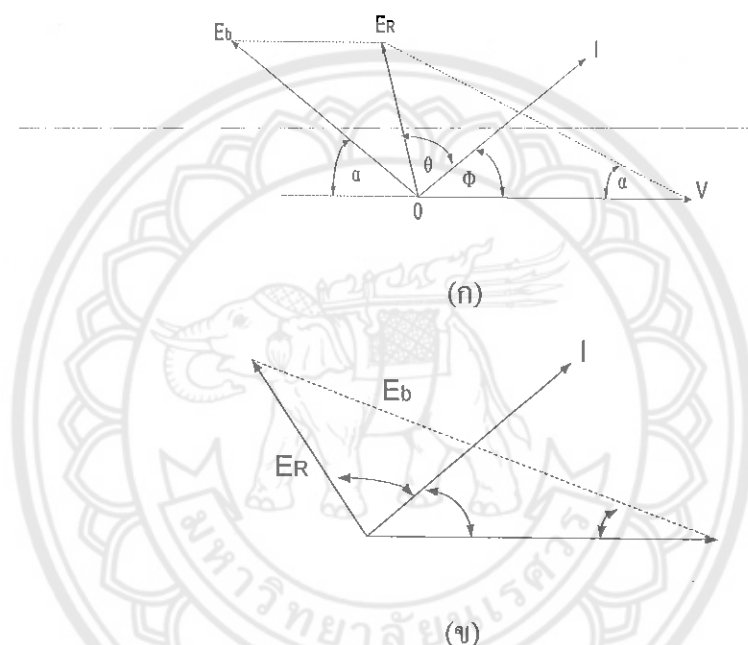
จากรูป 2.15 เขียนสมการ  $E_b$  และ  $\alpha$  ได้ว่า

$$E_b = (V - IR_a) + j(IX_s) \quad (2.14)$$

$$\alpha = \tan^{-1} \left( \frac{IX_s}{V - IR_a} \right) \quad (2.15)$$

### B เมื่อค่าตัวประกอบกำลังนำหน้า

เมื่อค่าตัวประกอบกำลังของมอเตอร์ซิงโครนัสมีค่านำหน้า สามารถเขียนเฟสเซอร์ไดอะแกรม โดยใช้แกนแรงดันเป็นแกนอ้างอิงได้ดังรูปที่ 2.16 (ก) หรือ 2.16 (ข)



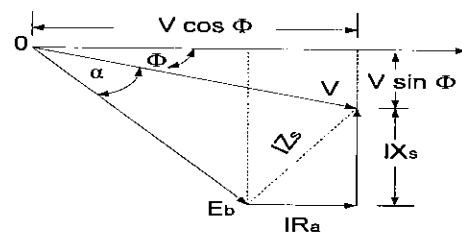
รูปที่ 2.16 เฟสเซอร์ไดอะแกรมของมอเตอร์ซิงโครนัสเมื่อมีโหลด และมีค่าตัวประกอบกำลังของ มอเตอร์นำหน้า เก็บโดยใช้แรงดันเป็นแกนอ้างอิง

จากรูปที่ 2.16 เขียนสมการ  $E_b$  และ  $\alpha$  ได้ว่า

$$E_b = \sqrt{V^2 + E_R^2 - 2VE_R \cos(\theta + \varphi)} \quad (2.16)$$

$$\alpha = \sin^{-1} \left( \frac{E_R \sin(\theta + \varphi)}{E_b} \right) \quad (2.17)$$

ในทำนองเดียวกัน เมื่อเขียนเฟสเซอร์ไดอะแกรมโดยใช้กระแสเป็นแกนอ้างอิง จะได้ดังรูป 2.17



รูปที่ 2.17 เพสเซอร์ไดอะแกรมของมอเตอร์ซิ่งโกรนัสเมื่อมีโหลด และมีค่าตัวประกอบกำลังของมอเตอร์นำหน้า เวียนโดยใช้กระแสเป็นแกนอ้างอิง

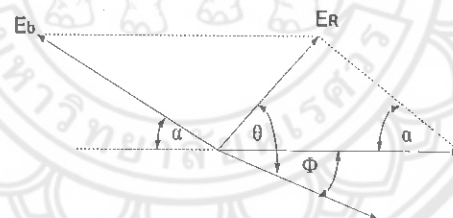
จากรูป 2.17 เวียนสมการ  $E_b$  และ  $\alpha$  ได้ว่า

$$E_b = (V \cos \varphi - IR_a) + j(V \sin \varphi + IX_s) \quad (2.18)$$

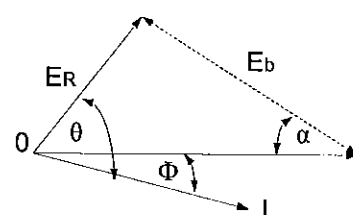
$$\alpha = \tan^{-1} \left( \frac{V \sin \varphi + IX_s}{V \cos \varphi - IR_a} \right) - \varphi \quad (2.19)$$

*C เมื่อค่าตัวประกอบกำลังถ้าหลัง*

เมื่อค่าตัวประกอบบกำลังถ้าหลัง จะเวียนเพสเซอร์ไดอะแกรมโดยใช้แกนของแรงดันเป็นแกนอ้างอิงดังแสดงในรูปที่ 2.18 (ก) หรือ 2.18 (ข)



(ก)



(ข)

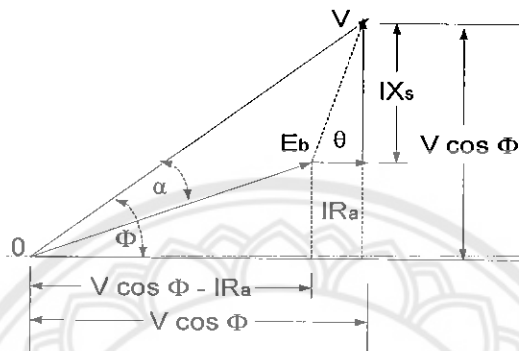
รูปที่ 2.18 เพสเซอร์ไดอะแกรมของมอเตอร์ซิ่งโกรนัสเมื่อมีโหลด และมีค่าตัวประกอบกำลังของมอเตอร์ถ้าหลัง เวียนโดยใช้กระแสเป็นแกนอ้างอิง

จากรูปที่ 2.18 เวียนสมการ  $E_b$  และ  $\alpha$  ได้ว่า

$$E_b = \sqrt{V^2 + E_R^2 - 2VE_R \cos(\theta - \varphi)} \quad (2.20)$$

$$\alpha = \sin^{-1} \left( \frac{E_R \sin(\theta - \varphi)}{E_b} \right) \quad (2.21)$$

ในทำนองเดียวกัน เมื่อเขียนเฟสเซอร์์โดยแกรมโดยใช้กระแสเป็นแกนข้างอิ่ง จะได้ดังรูป 2.19



รูปที่ 2.19 เฟสเซอร์์โดยแกรมของมอเตอร์ซิง โกรนส์เมื่อมีโหลด และมีค่าด้าวประกอบ  
กำลังของมอเตอร์ถ้าหลัง เขียนโดยใช้กระแสเป็นแกนข้างอิ่ง

จากรูปที่ 2.19 เขียนสมการ  $E_b$  และ  $\alpha$  ได้ว่า

$$E_b = (V \cos \varphi - IR_a) + j(V \sin \varphi - IX_s) \quad (2.22)$$

$$\alpha = \varphi - \tan^{-1} \left( \frac{V \sin \varphi - IX_s}{V \cos \varphi - IR_a} \right) \quad (2.23)$$

เนื่องจากสมการของ  $E_b$  ในมอเตอร์ซิง โกรนส์ และสมการของ  $E$  ในเครื่องกำเนิดไฟฟ้าซิง โกรนส์เป็นสมการเดียวกัน ดังนั้นสรุปได้ว่ากรณีมอเตอร์ซิง โกรนส์ สมการแรงคลื่อนไฟฟ้าเห็นได้ว่านี้ต้านกัน คือ

$$E_b = (V \cos \varphi - IR_a) + j(V \sin \varphi \pm IX_s) \quad (2.24)$$

$$E_b = \sqrt{(V \cos \varphi - IR_a)^2 + (V \sin \varphi \pm IX_s)^2} \quad (2.25)$$

โดยกำหนดให้ ใช้เครื่องหมาย + เมื่อค่าตัวประกอบกำลัง นำหน้า  
 ใช้เครื่องหมาย - เมื่อค่าตัวประกอบกำลัง ล้ำหลัง  
 กรณีเครื่องกำเนิดไฟฟ้าซิงโครนัส สมการแรงเคลื่อนไฟฟ้าเหนี่ยวนำคือ

$$E = (V \cos \varphi + IR_a) + j(V \sin \varphi \pm IX_s) \quad (2.26)$$

หรือ  $E = \sqrt{(V \cos \varphi + IR_a)^2 + (V \sin \varphi \pm IX_s)^2} \quad (2.27)$

โดยกำหนดให้ ใช้เครื่องหมาย + เมื่อค่าตัวประกอบกำลัง ล้ำหลัง  
 ใช้เครื่องหมาย - เมื่อค่าตัวประกอบกำลัง นำหน้า

สำหรับค่านูน์โอลด์ ( $\alpha$ ) ที่ค่าตัวประกอบกำลังใดๆ สามารถหาได้จากสมการ (2.28)

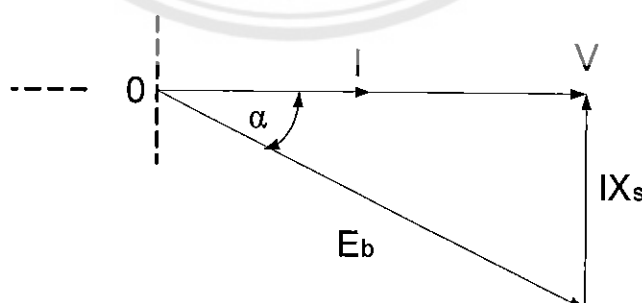
$$\alpha = \cos^{-1} \left( \frac{E_b^2 + V^2 - E_R^2}{2E_b V} \right) \quad (2.28)$$

D เพสเซอร์ไดอะแกรมเมื่อไม่คิดค่า  $R_a$

เนื่องจากค่าความต้านทานของอาร์เมเนเจอร์ ( $R_a$ ) มีค่าน้อยมาก เมื่อเทียบกับค่า  $X_s$  และ เนื่องจากค่า  $Z_s \approx X_s$  ดังนั้นเมื่อมอเตอร์ซิงโครนัสขับโอลด์ที่ค่าตัวประกอบกำลังแตกต่างกัน สามารถเขียนเพสเซอร์ไดอะแกรมเมื่อลงทะเบี่ยงค่า ( $R_a$ ) ได้ 3 กรณี ดังต่อไปนี้

■ กรณี ค่าตัวประกอบกำลังของมอเตอร์เป็นหนึ่ง

เมื่อค่าตัวประกอบกำลังของมอเตอร์เป็นหนึ่งและ  $Z_s \approx X_s$  เพสเซอร์ไดอะแกรมของ มอเตอร์ซิงโครนัสแสดงดังรูปที่ 2.20



รูปที่ 2.20 เมื่อค่าตัวประกอบกำลังเป็นหนึ่งและไม่คิดค่า  $R_a$

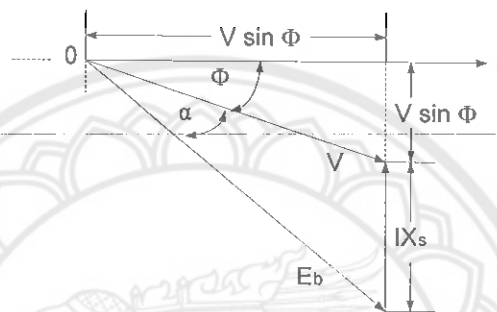
จากรูปที่ 2.20 เปลี่ยนสมการ  $E_b$  และ  $\alpha$  ได้ว่า

$$E_b = V + j(IX_s) \quad (2.29)$$

$$\alpha = \tan^{-1} \left( \frac{IX_s}{V} \right) \quad (2.30)$$

■ **กรณี ค่าตัวประกอบกำลังของมอเตอร์นำหน้า**

เมื่อค่าตัวประกอบกำลังของมอเตอร์นำหน้าและค่า  $Z_s \cong X_s$  จะเปลี่ยนเฟสเซอร์ໄ舠ະແກນ ได้ดังรูปที่ 2.21



รูปที่ 2.21 เมื่อค่าตัวประกอบกำลังนำหน้า และไม่มีคิดค่า  $R_a$

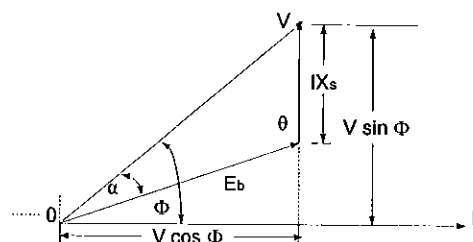
จากรูปที่ 2.21 เปลี่ยนสมการ  $E_b$  และ  $\alpha$  ได้ว่า

$$E_b = (V \cos \phi) + j(V \sin \phi + IX_s) \quad (2.31)$$

$$\alpha = \tan^{-1} \left( \frac{V \sin \phi + IX_s}{V \cos \phi} \right) - \phi. \quad (2.32)$$

■ **กรณี ค่าตัวประกอบกำลังของมอเตอร์ล้าหลัง**

เมื่อค่าตัวประกอบกำลังของมอเตอร์ล้าหลัง และค่า  $Z_s \cong X_s$  จะเปลี่ยนเฟสเซอร์ໄ舠ະແກນ ได้ดังรูปที่ 2.22



รูปที่ 2.22 เมื่อค่าตัวประกอบกำลังล้าหลัง และไม่มีคิดค่า  $R_a$

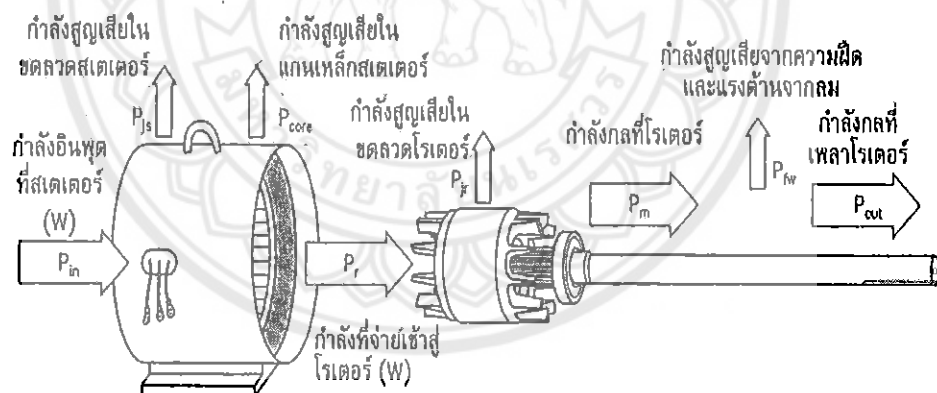
จากรูปที่ 2.22 เปรียบสมการ  $E_b$  และ  $\alpha$  ได้ว่า

$$E_b = (V \cos \varphi) + j(\sin \varphi - IX_s) \quad (2.33)$$

$$\alpha = \varphi - \tan^{-1} \left( \frac{V \sin \varphi + IX_s}{V \cos \varphi} \right) \quad (2.34)$$

## 2.2 ประสิทธิภาพของมอเตอร์ซิงโกรนัส

ประสิทธิภาพของมอเตอร์ซิงโกรนัส หาได้จากกำลังเอาต์พุต ( $P_{out}$ ) หารด้วยกำลังอินพุต ( $P_m$ ) ซึ่งพิจารณาได้จากรูปที่ 2.23 สามารถแสดงลำดับของพลังงานไฟฟ้าทางอินพุต ( $P_m$ ) ที่จ่ายเข้าที่สเตเตอร์ของมอเตอร์ซิงโกรนัส พลังงานไฟฟ้าส่วนนี้จะเกิดการสูญเสียในคลัวด ทองแดงของสเตเตอร์ ( $P_{js}$ ) และกำลังสูญเสียในแกนเหล็กของสเตเตอร์ ( $P_{core}$ ) กำลังงานส่วนที่เหลือบนสเตเตอร์จะส่งผ่านช่องอากาศมายังโรเตอร์ ( $P_r$ ) — กำลังส่วนนี้จะสูญเสียจากคลัวด สนามแม่เหล็กของโรเตอร์ ( $P_{jr}$ ) แปลงเป็นพลังงานกล ( $P_m$ ) ที่ด้วยโรเตอร์ จากนั้นจะเกิดกำลังสูญเสียจาก Stray load ซึ่งมีค่าประมาณ 9 % ของกำลังกลทางเอาต์พุต และกำลังสูญเสียจากความผิดและแรงด้านจากลม ( $P_{jw}$ ) ก่อนที่จะส่งกำลังกลที่เหลือไปยังเพลาของมอเตอร์ก็ถูกยกเป็นกำลังกลเอาต์พุต ( $P_{out}$ ) ดังแสดงผังการไหลของพลังงานในรูปที่ 2.23



รูปที่ 2.23 ผังการไหลของพลังงานอินพุตและเอาต์พุตของมอเตอร์ซิงโกรนัส

โดยหลักการเช่นเดียวกับเครื่องกำเนิดไฟฟ้าซิงโกรนัส กำลังสูญเสียในแกนเหล็กของโรเตอร์จะไม่เกิดขึ้น เพราะไม่มีกระแสไฟ流วนในแกนเหล็กของโรเตอร์ ด้วยสาเหตุที่ว่าโรเตอร์ก็จะหมุนด้วยความเร็วเท่ากับความเร็วคลัวด สนามแม่เหล็กหมุนที่สเตเตอร์นั้นเอง

ดังนั้นประสิทธิภาพของมอเตอร์ซิงโกรนัส คือ ( $\eta$ ) ค่าเป็นร้อยละหาได้จากสมการ

$$\% \eta = \frac{P_{out}}{P_{in}} \times 100\% \quad (2.35)$$

และ

$$P_{in} = P_{out} + P_{losses}$$

เมื่อ

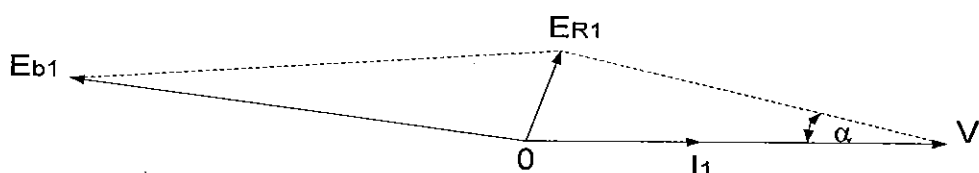
$P_{losses}$  = กำลังสูญเสียรวมทั้งหมดในมอเตอร์ซิงโกรนัส

$$\text{ดังนี้} \quad \% \eta = \frac{P_{out}}{P_{out} + P_{losses}} \times 100\% \quad (2.36)$$

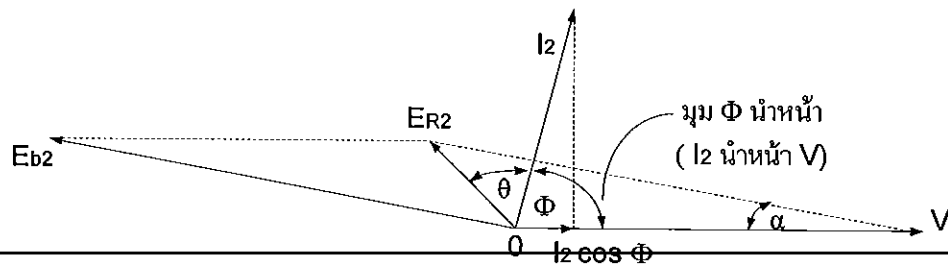
### 2.3 ซิงโกรนัสคอนเดนเซอร์

ซิงโกรนัสคอนเดนเซอร์ หมายถึงสภาวะการทำงานของมอเตอร์ซิงโกรนัสในขณะที่ค่าตัวประกอบกำลังนำหน้า ทำให้สามารถนำมอเตอร์ซิงโกรนัสไปใช้ในการปรับปรุงค่าตัวประกอบกำลังของระบบไฟฟ้าได้ โดยที่ตัวของมอเตอร์ไม่ต้องขับโหลดทางกล โดยทั่วไปการปรับปรุงค่าตัวประกอบกำลังเพื่อให้มีค่าเข้าใกล้ค่าหนึ่ง คือประมาณ 0.9-0.95 ถ้าลดเนื้องจากค่าที่มอเตอร์ซิงโกรนัสทำงานโดยไม่ขับโหลดทางกล กำลังทางอินพุตทั้งหมดจะถูกใช้เพื่ออาชานะการสูญเสียในคล漉ดอาร์เมเจอร์ การสูญเสียในแกนเหล็ก การสูญเสียทางกลที่เกิดจากการฟืดและการระแทบต้านจากลม ผลคือ I<sub>1</sub> จะอินเฟสกับ V ดังเฟสเซอร์ในรูปที่ 2.24 (ก) ซึ่งเป็นเฟสเซอร์ของมอเตอร์ซิงโกรนัสเมื่อไม่มีโหลดและมีค่าตัวประกอบกำลังเป็นหนึ่งแต่ถ้าเพิ่มกระแสคล漉ดสนามแม่เหล็กให้มากขึ้นจะทำให้กระแส I<sub>1</sub> เปลี่ยนเป็นกระแส I<sub>2</sub> ซึ่งนำหน้าแรงดันไฟฟ้า (V) เป็นมุมประมาณ 90 องศาไฟฟ้า ดังแสดงในรูปที่ 2.24 (ข)

คุณลักษณะของมอเตอร์ซิงโกรนัสในขณะที่มีค่าตัวประกอบกำลังนำหน้าจะเหมือนกับคอนเดนเซอร์นั้นเอง ดังนั้นมือต่อซิงโกรนัสมอเตอร์ที่มีคุณลักษณะเป็นคอนเดนเซอร์เข้ากับระบบไฟฟ้าจะทำให้ค่าตัวประกอบกำลังของระบบไฟฟ้านั้นคืบหน้า จึงเรียกซิงโกรนัสมอเตอร์ในลักษณะนี้ว่า ซิงโกรนัสคอนเดนเซอร์



(ก) เฟสเซอร์โดยแกนของมอเตอร์ซิงโกรนัสไม่มีโหลด และมีค่าตัวประกอบกำลังเป็นหนึ่ง



(ข) เพสเซอร์ไดอะแกรมของมอเตอร์ซิงโกรนัสไม่มีโหลด และมีค่าตัวประกอนกำลังนำหน้า

รูปที่ 2.24 เพสเซอร์ไดอะแกรมของมอเตอร์ซิงโกรนัสจะมีและไม่มีโหลด

สรุปแล้ว การปรับค่าประกอนกำลังของซิงโกรนัสมอเตอร์ให้นำหน้าจะทำได้โดยการปรับกระแสเข้าไปกระตุนชุดสวิตซ์ตามแม่เหล็ก โดยทั่วไปแล้วซิงโกรนัสก่อนเดนเซอร์ที่ต่อเข้ากับระบบไฟฟ้าจะช่วยปรับค่าตัวประกอนกำลังของระบบไฟฟ้าให้ดีขึ้นจะมีพิกัดตั้งแต่ 20 MVar ถึง 200 MVar ที่เราใช้หน่วย Var เพราะว่าการปรับปรุงค่าตัวประกอนกำลังของระบบไฟฟ้าคือการที่ซิงโกรนัสก่อนเดนเซอร์ มีความสามารถในการแบ่งค่ากำลังไฟฟ้ารีแอคทีฟจากโหลดจะทำให้ลดค่าตัวประกอนกำลังได้

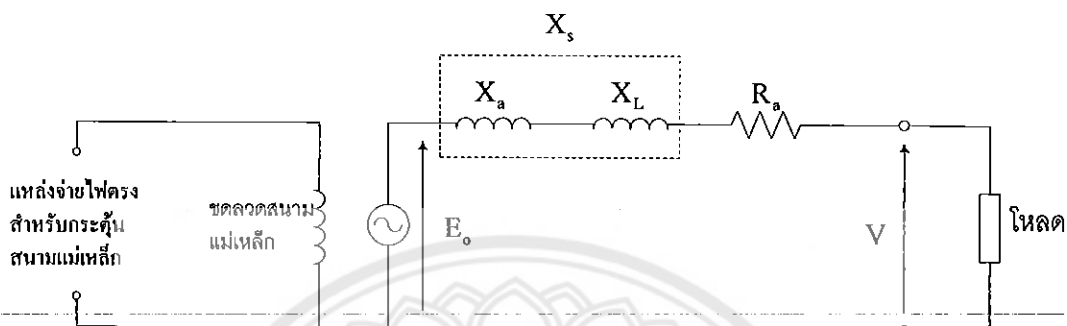
15737996

ผู้  
๑๑๑  
๒๕๕๒

## บทที่ 3

### การทดสอบและวิธีการทดสอบ

#### 3.1 การทดสอบทางจารสมูลของมอเตอร์ซิงโกรนัส



รูปที่ 3.1 วงจรสมมูลของมอเตอร์ซิงโกรนัส

$X_s$  : Stator Leakage Reactance

$R_a$  : Stator Resistance

$X_L$  : Rotor Leakage Reactance Transfer to Stator

$E_0$  : Voltage on No Load

$X_a$  : Magnetizing Reactance

$V$  : Voltage Per Phase

ในทางปฏิบัติการหาก้าร์กุเลชั่นของแรงดันเมื่อมอเตอร์ไฟฟ้าซิงโกรนัสจ่ายโหลดนั้นจะหาจากวงจรสมมูล

$$Z_s = \sqrt{R_a^2 + X_s^2} \quad (3.1)$$

$R_a$  = ค่าความต้านทานอาร์เมเจอร์

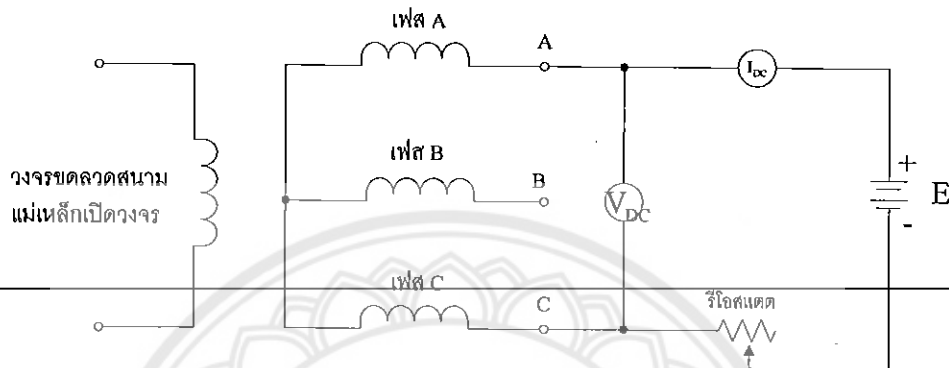
$X_s$  = รีแอคเคนซ์ซิงโกรนัส

ค่าของ  $R_a$  และ  $X_s$  วิธีการทดสอบเพื่อหาค่าดังกล่าวนั้นมี 3 วิธีคือ

1. วิธีการทดสอบหาค่าความต้านทานอาร์เมเจอร์ (Armature Resistance Test)
2. วิธีทดสอบแบบเปิดวงจร (Open-Circuit Test)
3. วิธีทดสอบแบบลัดวงจร (Short-Circuit Test)

### 3.1.1 วิธีการทดสอบหาค่าความต้านทานอาร์เมเนเจอร์

การหาความต้านทานอาร์เมเนเจอร์  $R_a$  ของมอเตอร์ชิงโกรนัส 3 เฟส จะใช้วิธีการทดสอบโดยทดสอบขณะที่มอเตอร์ไม่ทำงานและไม่มีการระดูนที่ขดลวดสนามแม่เหล็ก โดยการต่อแหล่งจ่ายไฟตรงเข้าไปที่ขั้วคู่ใดคู่หนึ่งของมอเตอร์ และวัดหาค่า  $I_{DC}$  และ  $E_{DC}$  ของขดลวดเพื่อคำนวณหาค่า  $R_{DC}$  ใช้ทดสอบได้ขั้นตอนที่บันถือต่อไปนี้



รูปที่ 3.2 วงจรทดสอบหาค่าความต้านทานอาร์เมเนเจอร์

ในทางปฏิบัติการทดสอบดังรูปที่ 3.2 นี้ต้องใช้รีโซสเตตที่ทนกระแสไฟสูงๆ ต่อนุกรมกับขดลวดอาร์เมเนเจอร์ เพราะว่าค่า  $R_a$  มีค่าต่ำมากจากรูปที่ 3.2 ค่า  $R_{DC}$  ที่หาได้คือ

$$R_{DC} = \frac{E_{DC}}{I_{DC}} \quad (3.2)$$

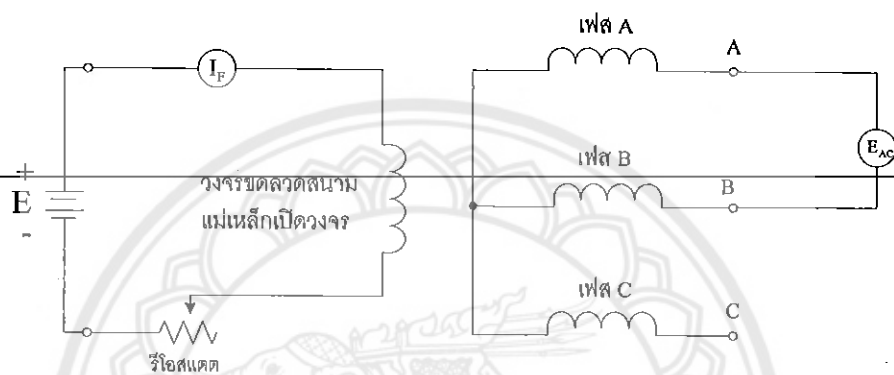
ซึ่งค่า  $R_{DC}$  มีค่าเป็นสองเท่าของค่า  $R_a$  เพราะว่า  $E_{DC}$  เท่ากับค่า  $R_a$  รวมกันสองเฟส ดังนั้นค่า  $R_a$  หาได้จากสมการ

$$R_a = \frac{R_{DC}}{2} \quad (3.3)$$

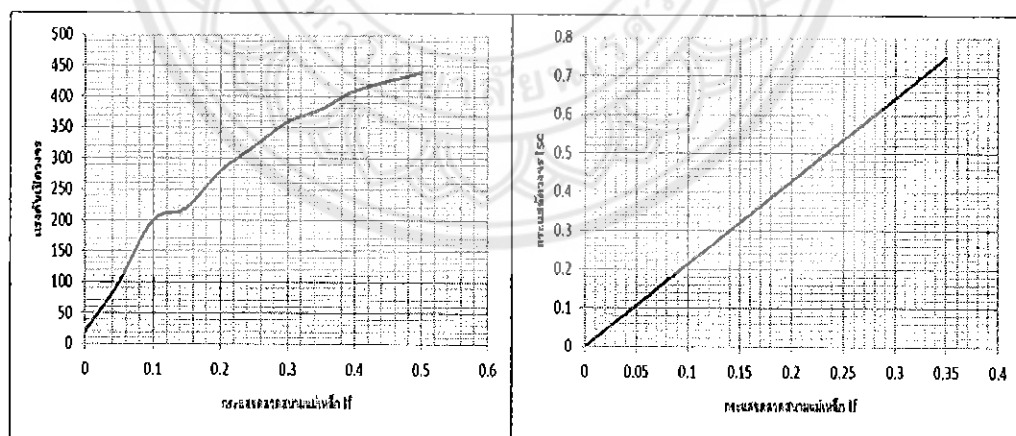
เนื่องจากค่า  $R_a$  ของอาร์เมเนเจอร์ในวงจรไฟสลับจะค่าใช้งาน (Effective) ดังนั้นค่า  $R_a$  ที่ได้จากการทดสอบดังสมการ (1.18) จะต้องคูณกับแฟกเตอร์คือ  $R_{a(eff)}$  ที่เป็นค่าคงที่ตั้งแต่ 1.25 ถึง 1.75 ซึ่งเกิดมาจากการสร้างของการพัฒนาขดลวด รูปร่างลักษณะของสลีอต จึงจะได้ค่า  $R_{a(eff)}$

### 3.1.2 วิธีทดสอบแบบเปิดวงจร

กีอการทดสอบหาค่าแรงดันที่ขั้วของมอเตอร์ไฟฟ้าซึ่งโครนัสบจะเปิดวงจรไม่ต่อโหลด โดยต้องทำการขับมอเตอร์ให้หมุนไปที่ความเร็วซึ่งโครนัสตามพิกัดกำหนด และต่อแหล่งจ่ายไฟตรงเข้ากับชุด漉ต์สนามแม่เหล็ก และค่อยๆปรับค่ากระแสชุด漉ต์สนามแม่เหล็ก ( $I_f$ ) ตั้งแต่ค่าศูนย์จนถึงค่าที่เป็นผลให้สนามแม่เหล็กเริ่มนิ่มตัว และทดลองวัดค่าแรงดันที่ขั้ว ( $E_{AC}$ ) จากภาระที่งานถึงค่าสูงสุดและนำมาพิจารณาแล้วแสดงความสัมพันธ์ของแรงดันเอาต์พุตที่ขั้วกับกระแสลักต์สนามแม่เหล็กดังรูปที่ 3.4 สำหรับวงจรการทดสอบแบบเปิดวงจรแสดงในรูปที่ 3.3



รูปที่ 3.3 วงจรทดสอบแบบเปิดวงจร



รูปที่ 3.4 กราฟแสดงผลการทดสอบด้วยวิธีทดสอบแบบเปิดวงจร และวิธีการทดสอบแบบลักษณะ

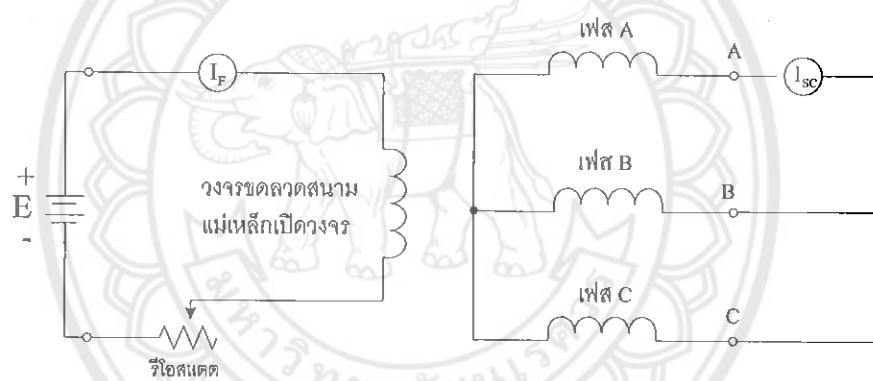
อย่างไรก็ตามแรงดัน  $E_{AC}$  ที่ได้จากการทดสอบแบบเปิดวงจรเป็นแรงดันระหว่างสาย ใน การนำไปคำนวนจะต้องเปลี่ยนเป็นแรงดันระหว่างเฟส เมื่อจากเครื่องอาร์เมเจอร์ของเครื่องกำนิด

ไฟฟ้าซิงโกรนัสที่ใช้ทดสอบในรูปที่ ต่อแบบสตาร์ ดังนั้น  $E_{oc} = \frac{E_{AC}}{\sqrt{3}}$  เส้นกราฟที่ได้จากการทดสอบแบบเบีความจร จากรูปที่ 3.3 คือกราฟความสัมพันธ์ระหว่าง  $\frac{E_{AC}}{\sqrt{3}}$  และ  $I_f$

### 3.1.3 วิธีทดสอบแบบลัดวงจร

วิธีการทดสอบแบบลัดวงจร มีจุดประสงค์เพื่อหาค่ากระแสสัมภาร์เมื่อเริ่มเจอร์ของมอเตอร์ไฟฟ้าซิงโกรนัส 3 เฟส การทดสอบนี้ต้องให้ความระมัดระวังมากที่สุด โดยเฉพาะที่วงจรของลวดสนามแม่เหล็กต้องต่อริโอสแตตที่มีค่าสูงๆ เพื่อรักษากระแสสัมภาร์ของลวดสนามแม่เหล็ก ( $I_f$ ) ให้เปลี่ยนแปลงอย่างช้าๆ การทดสอบทำได้โดยขั้นตอนเดอร์ให้หมุนด้วยความเร็วซิงโกรนัส และค่อยๆ เพิ่อมค่ากระแส ( $I_f$ ) จากค่าศูนย์จนถึงค่าสูงสุดอย่างช้าๆ ทดสอบวัดค่ากระแสสัมภาร์ ( $I_{SC}$ ) ที่วัดได้จากวงจรอาเรเมเจอร์ แล้วจึงนำค่ากระแส ( $I_f$ ) และกระแส ( $I_{SC}$ ) มาplotลงในกราฟรูปเดียวกับ

การทดสอบแบบเบีความจรดังแสดงในกราฟรูปที่ 3.4



รูปที่ 3.5 วงจรทดสอบแบบลัดวงจร

เนื่องจากการทดสอบแบบลัดวงจรเพื่อหาค่ากระแสสัมภาร์ในอาเรเมเจอร์ ( $I_{SC}$ ) ที่ความเร็วซิงโกรนัสและกระแสสัมภาร์ตามพิกัด จากราฟในรูป ถ้ากระแสสัมภาร์ของลวดสนามตามพิกัดของเครื่องกำเนิดคือ 46 A ค่ากระแสสัมภาร์คือ  $I_{SC} = 204$  A ค่าอิมพีเดนซ์ซิงโกรนัส  $Z_s$  หาได้จากสมการ

$$Z_s = \frac{E_{oc}}{I_{SC}} \quad (3.4)$$

จากรูปที่ ที่  $I_f = 47$  A จะได้ค่า  $I_{SC} = 204$  A และจะได้ค่า  $E_{oc} = 1330$  V ดังนั้น  $Z_s$  ต่อเฟสคือ

$$Z_s = \frac{1330 \text{ V}}{204 \text{ A}} = 6.52 \Omega$$

ในทำนองเดียวกัน เมื่อทราบค่า  $Z_s$  จากการทดสอบแบบเปิดวงจร และจากการทดสอบแบบลัดวงจรและทราบ  $R_a$  การทดสอบหาค่าความต้านทานของอาร์เมจอร์ ดังนั้นค่าเรียกแตกต่างซึ่งโครนัส ( $X_s$ ) จึงเท่ากับ

$$X_s = \sqrt{Z_s^2 - R_s^2} \quad (3.5)$$

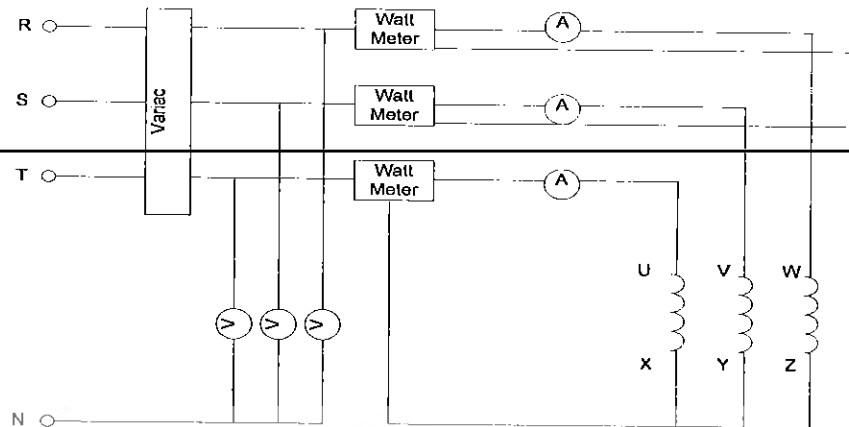
### 3.2 การทดสอบในสภาวะที่แรงดันไฟฟ้าไม่สมดุลขณะไร้ภาระทางกลและขณะขับภาระทางกล

รูปแบบการทดสอบตามเหตุการณ์ความผิดปกติที่เกิดขึ้นกับระบบไฟฟ้า ซึ่งทำให้เกิดความไม่สมดุลของแรงดันไฟฟ้า 3 เฟส ที่ป้อนให้กับมอเตอร์เหนี่ยวนำ และกลุ่มของมอเตอร์เหนี่ยวนำ แบ่งออกเป็น 4 กรณี คือ

- 1) แรงดันไฟฟ้าไม่สมดุลต่ำกว่าปกติ 1 เฟส (1 Ø - Under Voltage Unbalance)
- 2) แรงดันไฟฟ้าไม่สมดุลต่ำกว่าปกติ 2 เฟส (2 Ø - Under Voltage Unbalance)
- 3) แรงดันไฟฟ้าไม่สมดุลสูงกว่าปกติ 1 เฟส (1 Ø - Over Voltage Unbalance)
- 4) แรงดันไฟฟ้าไม่สมดุลสูงกว่าปกติ 2 เฟส (2 Ø - Over Voltage Unbalance)

ในแต่ละกรณีจะจ่ายแรงดันไฟฟ้าไม่สมดุล 5 ระดับ 1%, 2%, 3%, 4% และ 5% สำหรับค่าแรงดันไฟฟ้าป้อนเข้าตามเปอร์เซ็นต์ความไม่สมดุลของแรงดันไฟฟ้าเฟส ได้ทำการแสดงค่าแรงดันไฟฟ้าป้อนเข้าตามเปอร์เซ็นต์ความไม่สมดุลของแรงดันไฟฟ้าเฟสไว้ในตารางที่ 4.2 ซึ่งอยู่ในบทที่ 4 แล้ว

### 3.2.1 การทดสอบกับมอเตอร์เรนนิ่งว่า



รูปที่ 3.6 วงจรการทดสอบมอเตอร์ซิงโกรนัสในสภาพที่แรงดันไฟฟ้าไม่สมดุล

วงจรการทดสอบรูปที่ 3.6 การทดสอบขณะไฟฟ้าแต่ละเฟส แอมมิเตอร์กระแสลับ 3 ตัวมีหน้าที่วัดกระแสไฟฟ้าที่เข้ากับปลายขดลวดสเตเตอร์ด้านเป้าคือ ปลาย U , V และ W มอเตอร์ต่อแบบ Star Isolated Neutral ดังนี้ปลายขดลวดสเตเตอร์ด้านอกออกได้แก่ ปลาย X , Y และ Z จึงต่อเข้าด้วยกัน ทำการปรับค่าแรงดันไฟฟ้าป้อนเข้าแต่ละเฟสโดยปรับ Variac ตามสภาพไม่สมดุลทั้ง 4 กรณี และ 5 ระดับ เปอร์เซ็นต์ความไม่สมดุล ค่าความเร็วทางกลที่เพลาของโรเตอร์อ่านค่าได้จาก Tachometer

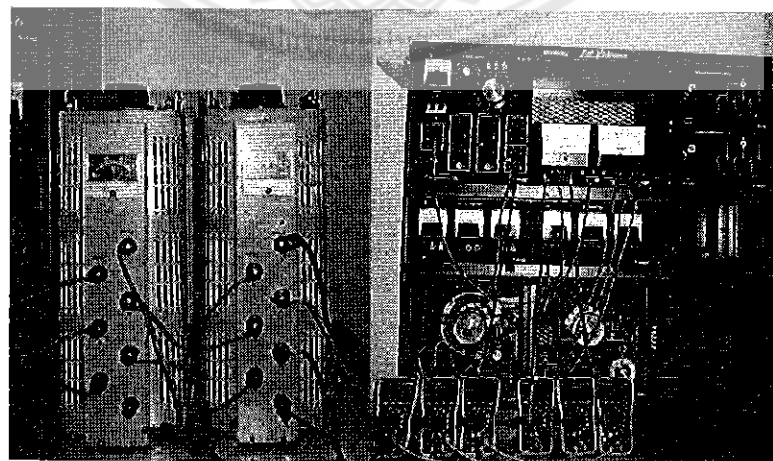
สำหรับการทดสอบขณะบันภาระทางกลจะติดตั้งชุดบันภาระทางกลเข้ากับเพลาของโรเตอร์ ทำการทดสอบโดยการใช้มอเตอร์กระแสตรงทำหน้าที่เป็นโหลด ทำการหาค่าเบอร์เซนต์ของโหลดมอเตอร์ที่จะทำการทดสอบ แล้วทำการปรับโหลดตามต้องการ โดยปรับแรงดันขาเข้าของมอเตอร์กระแสตรงตามต้องการที่จะระดับจนครบ 5 ระดับ บันทึกค่ากระแสไฟฟ้าแต่ละเฟส ความเร็วทางกลที่เพลาของโรเตอร์ เพื่อให้ข้อมูลที่ได้จากการทดสอบมีความน่าเชื่อถือจึงนำทฤษฎีส่วนประกอบสมมารณาเพื่อเปรียบเทียบข้อมูลที่ทดสอบ

- หมายเหตุ**
- มอเตอร์ที่ทำการทดสอบเป็นมอเตอร์ซิ่ง โกรนัส 3 เฟส ขนาด  $\frac{1}{2}$  แรงม้า
  - ขนาดแรงดันไฟฟ้าป้อนเข้า 380 โวลต์ (แรงดันไฟฟ้าระหว่างเฟส)
  - ความถี่ระบบไฟฟ้า 50 เฮิรตซ์
  - มอเตอร์ต่อแบบ Star Isolated Neutral
  - มอเตอร์มีลักษณะตัว ABC (มอเตอร์ที่มีหน้าที่เดียวคือการหมุนเพื่อขับเคลื่อนเครื่องจักร เช่น ปั๊มน้ำ ปั๊มลม ฯลฯ)
  - สถานที่ทำการทดสอบไม่ได้ควบคุมอุณหภูมิและความชื้น ในแต่ละครั้งของการทดสอบมอเตอร์มีอุณหภูมิเริ่มต้นเท่ากับอุณหภูมิของสถานที่ทำการทดสอบและขณะทำการทดสอบมอเตอร์มีอุณหภูมิประมาณ 50-60 องศาเซลเซียส

### 3.3 รายการอุปกรณ์ที่ใช้ในการทดสอบ

#### อุปกรณ์ที่ใช้ในการทดสอบ

1) มอเตอร์ซิ่ง โกรนัส	1	ตัว
2) มอเตอร์กระแสตรง	1	ตัว
3) โวลต์มิเตอร์กระแสลับ	3	ตัว
4) (Variac) จ่ายกระแสไฟฟ้า	2	ตัว
5) สายไฟฟ้าต่อวงจร	60	เส้น
6) ท้าโคมิเตอร์ (Tachometer)	1	เครื่อง
7) เครื่องวัด Power & Harmonics Analyzer	1	ตัว
8) แท่นวางมอเตอร์ขณะทดสอบการขับกระแสทางกล	2	แท่น



รูปที่ 3.7 การทดสอบมอเตอร์ซิ่ง โกรนัส

## บทที่ 4

### ผลที่ได้จากการทำการทดลอง

#### 4.1 ผลการทดสอบหัวของสมมูลของมอเตอร์ชิ้งโกรนัส

##### 4.1.1 ผลการทดสอบหาค่าความต้านทานสเตเตอเร

ตารางที่ 4.1.1 ตารางแสดงผลการทดสอบหาค่าความต้านทานสเตเตอเร

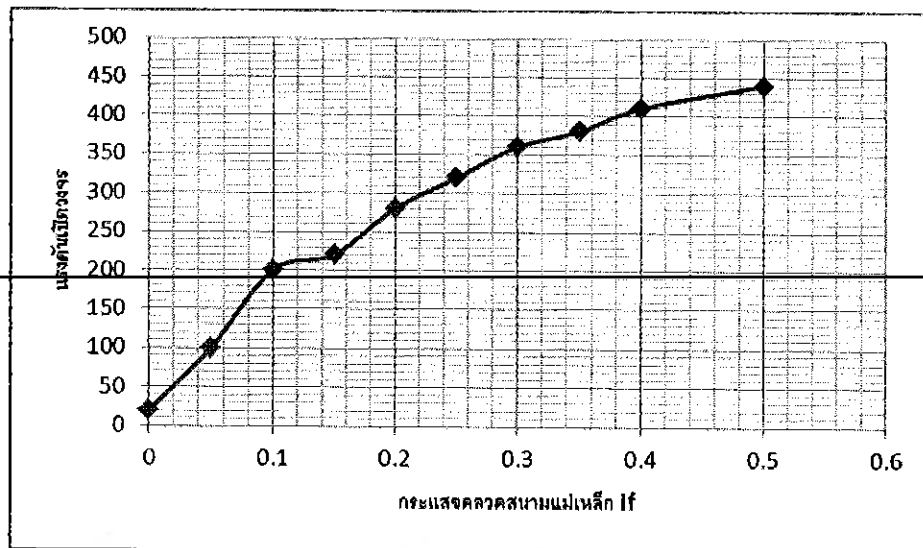
$V_{dc}$ (V)	12	14	16	18	20
$I_{dc}$ (A)	0.27	0.32	0.36	0.41	0.45
$R_a$ ( $\Omega$ )	43.7	43.7	43.7	43.7	43.7

จาก  $R_a = \frac{V_{dc}}{I_{dc}}$  ดังนั้นค่าเฉลี่ยของ  $R_a = 43.7 \Omega$

##### 4.1.2 การทดสอบภาวะเปิดวงจร (Open Circuit Test)

ตารางที่ 4.1.2 แรงดันไฟฟ้าจากการทดสอบภาวะเปิดวงจร

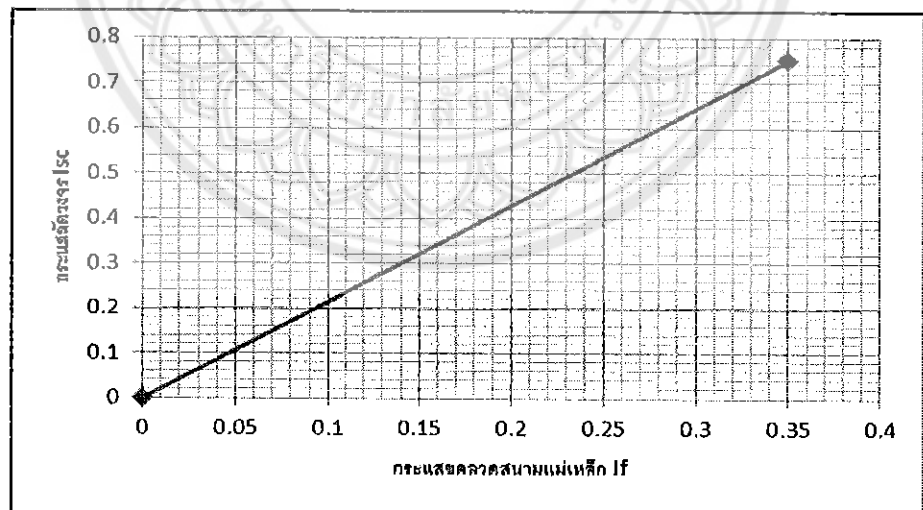
$I_1$ (A)	$E_1$ (V)	$E_2$ (V)	$E_3$ (V)	$E_{av}$ (V)
0	20	20	20	20
0.05	100	100	100	100
0.1	200	200	200	200
0.15	220	220	220	220
0.2	280	280	280	280
0.25	320	320	320	320
0.3	300	300	300	300
0.35	380	380	380	380
0.4	410	410	410	410
0.5	440	440	440	440



รูปที่ 4.1 กราฟแสดงความสัมพันธ์ระหว่างค่าเฉลี่ยแรง剩แม่เหล็ก  $I_f$  ไฟฟ้าเหนี่ยวนำกับค่ากระแสไฟตรง

#### 4.1.3 การทดสอบภาวะถัดวงจร (Short Circuit Test)

DC Excitation Current ( $I_1$ ) = ..... 0.35 .....  $A_{dc}$  ลักษณะทางค้านเอาท์พุตของเครื่องกำเนิดไฟฟ้า โดยการเปิดสวิตช์ของซิงโครไนซิ่งสวิตช์ (Synchronizing Switch) ค่ากระแส  $I_2$  ที่ช่วงสูงสุดโดยประมาณ ในขณะที่เปิดสวิตช์ซิงโครไนซิ่งคือ  $I_2 = ..... 0.75 ..... A_{ac}$



รูปที่ 4.2 กราฟแสดงความสัมพันธ์ระหว่างกระแสถัดวงจรในสภาวะคงตัวกับค่ากระแสไฟตรง

#### 4.1.4 วงจรสมมูลของมอเตอร์ซิ่งโกรนสที่ได้จากการทดสอบ

##### ทดสอบแบบเปิดวงจร

$$E_{oc} = \frac{E_{ac}}{\sqrt{3}}$$

$$E_{oc} = \frac{370}{\sqrt{3}} = 213.61 \text{ V}$$

จากรูปที่ 4.1 และ 4.2 แสดงผลการทดสอบค่าวิธีทดสอบแบบเปิดวงจร และวิธีการทดสอบแบบลัดวงจร

$$I_{sc} = 0.75 \text{ A}$$

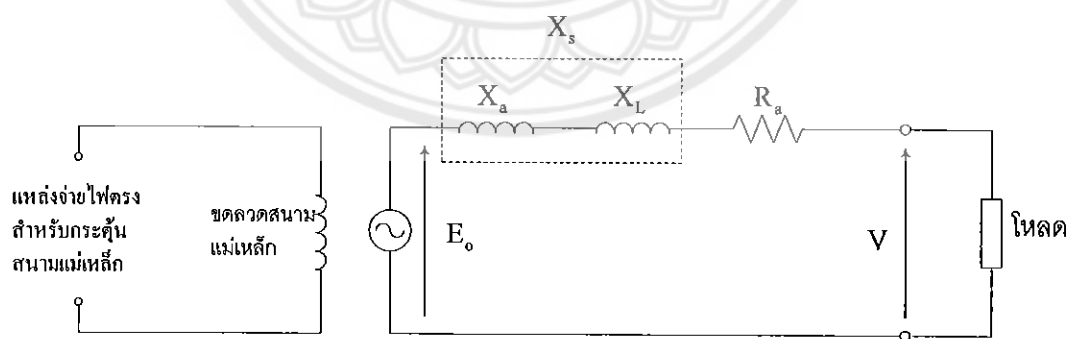
##### ทดสอบแบบลัดวงจร

$$Z_s = \frac{E_{oc}}{I_{sc}}$$

$$Z_s = \frac{213.61}{0.75} = 284.8 \Omega$$

$$X_s = \sqrt{Z_s^2 - R_s^2}$$

$$X_s = \sqrt{(284.8)^2 - (47.3)^2} = 1952.49 \Omega$$



รูปที่ 4.3 วงจรสมมูลของมอเตอร์ซิ่งโกรนสที่ได้จากการทดสอบ

## 4.2 ค่าปริมาณของแรงดันไฟฟ้าป้อนเข้าในสภาวะไม่สมดุล

การทดสอบมอเตอร์ซิงโกรนัส 3 เฟสในสภาวะแรงดันไฟฟ้าป้อนเข้าไม่สมดุล สามารถคำนวณหาแรงดันไฟฟ้าป้อนเข้าได้จากนิยามที่เกี่ยวข้องกับแรงดันไฟฟ้าไม่สมดุล

ตามมาตรฐานของ IEEE Std 141 ให้คำนวณของปอร์เซ็นต์ความไม่สมดุลของแรงดันไฟฟ้าเฟส (Phase Voltage Unbalance in Percent) หรือ PVUR (%) ไว้ดังนี้ และแสดงดังตารางที่ 4.2

$$PVUR (\%) = \frac{\text{maximum voltage deviation from average phase voltage magnitude}}{\text{average phase voltage magnitude}} * 100$$

$$= \frac{\max \left[ |V_a - V_{\bar{avg}}|, |V_b - V_{\bar{avg}}|, |V_c - V_{\bar{avg}}| \right]}{V_{\bar{avg}}} * 100\%$$

$$\text{เมื่อ } V_{\bar{avg}} = \frac{V_a + V_b + V_c}{3}$$

ตารางที่ 4.2 ตารางแสดงค่าแรงดันไฟฟ้าป้อนเข้าในสภาวะไม่สมดุลจากนิยามของ PVUR (%)

สภาวะความไม่สมดุลของแรงดันไฟฟ้า	แรงดันไฟฟ้าแต่ละเฟส (V)		
	Va	Vb	Vc
แรงดันไฟฟ้าไม่สมดุลต่ำกว่าปกติ 1 เฟส 1%	216.7	220	220
แรงดันไฟฟ้าไม่สมดุลต่ำกว่าปกติ 1 เฟส 2%	213.4	220	220
แรงดันไฟฟ้าไม่สมดุลต่ำกว่าปกติ 1 เฟส 3%	210.2	220	220
แรงดันไฟฟ้าไม่สมดุลต่ำกว่าปกติ 1 เฟส 4%	207	220	220
แรงดันไฟฟ้าไม่สมดุลต่ำกว่าปกติ 1 เฟส 5%	203.9	220	220
แรงดันไฟฟ้าไม่สมดุลต่ำกว่าปกติ 2 เฟส 1%	216.7	216.7	220
แรงดันไฟฟ้าไม่สมดุลต่ำกว่าปกติ 2 เฟส 2%	213.5	213.5	220
แรงดันไฟฟ้าไม่สมดุลต่ำกว่าปกติ 2 เฟส 3%	210.4	210.4	220
แรงดันไฟฟ้าไม่สมดุลต่ำกว่าปกติ 2 เฟส 4%	207.3	207.3	220
แรงดันไฟฟ้าไม่สมดุลต่ำกว่าปกติ 2 เฟส 5%	204.3	204.3	220
แรงดันไฟฟ้าไม่สมดุลสูงกว่าปกติ 1 เฟส 1%	223.3	220	220
แรงดันไฟฟ้าไม่สมดุลสูงกว่าปกติ 1 เฟส 2%	226.7	220	220
แรงดันไฟฟ้าไม่สมดุลสูงกว่าปกติ 1 เฟส 3%	230.1	220	220
แรงดันไฟฟ้าไม่สมดุลสูงกว่าปกติ 1 เฟส 4%	233.5	220	220
แรงดันไฟฟ้าไม่สมดุลสูงกว่าปกติ 1 เฟส 5%	236.9	220	220
แรงดันไฟฟ้าไม่สมดุลสูงกว่าปกติ 2 เฟส 1%	223.3	223.3	220
แรงดันไฟฟ้าไม่สมดุลสูงกว่าปกติ 2 เฟส 2%	226.7	226.7	220
แรงดันไฟฟ้าไม่สมดุลสูงกว่าปกติ 2 เฟส 3%	230.2	230.2	220
แรงดันไฟฟ้าไม่สมดุลสูงกว่าปกติ 2 เฟส 4%	233.8	233.8	220
แรงดันไฟฟ้าไม่สมดุลสูงกว่าปกติ 2 เฟส 5%	237.4	237.4	220

**4.3 ค่ากระแสไฟฟ้าและกำลังไฟฟ้าที่ได้จากการทดสอบมอเตอร์ชิ้งโครนัสในสภาพที่แรงดันไฟฟ้าไม่สมดุล ขณะไร้ภาระทางกล**

**4.3.1 ผลของการทดสอบกับมอเตอร์ชิ้งโครนัส**

**ตารางที่ 4.3.1 ตารางแสดงผลการทดสอบมอเตอร์ชิ้งโครนัส ขณะไร้ภาระทางกล**

กรณี	I (A)			P (W)	Speed (rpm)
	Ia	Ib	Ic	Pa+ Pb+ Pc	
Balance Voltage	0.051	0.059	0.059	1	1503
1Ø - Under Voltage Unbalance 1 %	0.040	0.059	0.067	1	1499
1Ø - Under Voltage Unbalance 2 %	0.038	0.072	0.086	2	1496
1Ø - Under Voltage Unbalance 3 %	0.030	0.075	0.090	2	1496
1Ø - Under Voltage Unbalance 4 %	0.025	0.081	0.095	2	1494
1Ø - Under Voltage Unbalance 5 %	0.029	0.088	0.101	2	1493
2Ø - Under Voltage Unbalance 1 %	0.055	0.057	0.079	2	1496
2Ø - Under Voltage Unbalance 2 %	0.049	0.046	0.080	2	1496
2Ø - Under Voltage Unbalance 3 %	0.046	0.044	0.081	2	1495
2Ø - Under Voltage Unbalance 4 %	0.047	0.049	0.084	2	1496
2Ø - Under Voltage Unbalance 5 %	0.049	0.056	0.086	2	1499
1Ø - Over Voltage Unbalance 1 %	0.079	0.076	0.073	1	1500
1Ø - Over Voltage Unbalance 2 %	0.095	0.083	0.068	1	1499
1Ø - Over Voltage Unbalance 3 %	0.109	0.090	0.065	2	1501
1Ø - Over Voltage Unbalance 4 %	0.123	0.097	0.061	1	1497
1Ø - Over Voltage Unbalance 5 %	0.137	0.106	0.059	2	1497
2Ø - Over Voltage Unbalance 1 %	0.077	0.090	0.079	1	1499
2Ø - Over Voltage Unbalance 2 %	0.087	0.107	0.080	2	1499
2Ø - Over Voltage Unbalance 3 %	0.100	0.128	0.081	2	1496
2Ø - Over Voltage Unbalance 4 %	0.113	0.148	0.083	3	1497
2Ø - Over Voltage Unbalance 5 %	0.127	0.173	0.088	4	1499

จากผลการทดสอบในตารางที่ 4.3 ค่ากระแสไฟฟ้าและกำลังไฟฟ้าที่ได้จากการทดสอบ  
มอเตอร์ซิงโกรนัสในสภาวะที่แรงดันไฟฟ้าไม่สมดุลขณะไร้ภาระทางกล พบว่าค่ากระแสไฟฟ้าใน  
แต่เพียงมีค่าเพิ่มขึ้นตามสภาวะความไม่สมดุลของแรงดันไฟฟ้าที่สูงขึ้น ส่วนกำลังไฟฟ้าทั้ง 3 เฟสมี  
ค่าเพิ่มขึ้นเล็กน้อย

#### 4.4 ค่ากระแสไฟฟ้าและกำลังไฟฟ้าที่ได้จากการทดสอบมอเตอร์ซิงโกรนัสในสภาวะที่ แรงดันไฟฟ้าไม่สมดุล ขณะขับภาระทางกล

##### 4.4.1 ผลของการทดสอบกับมอเตอร์ซิงโกรนัส

ตารางที่ 4.4.1 สภาวะแรงดันไฟฟ้าต่ำกว่าปกติ 1 เฟส (1Ø - Under Voltage)

PVUR (%)	Load (%)	I (A)			P (W) Pa+Pb+Pc	Speed (rpm)
		Ia	Ib	Ic		
1%	20%	0.061	0.093	0.089	3	1500
	60%	0.134	0.165	0.146	23	1500
	100%	0.357	0.383	0.366	80	1500
2%	20%	0.053	0.101	0.096	5	1498
	60%	0.128	0.175	0.150	25	1497
	100%	0.349	0.394	0.370	82	1494
3%	20%	0.040	0.107	0.102	2	1501
	60%	0.119	0.185	0.153	22	1508
	100%	0.341	0.405	0.374	79	1505
4%	20%	0.032	0.112	0.107	3	1499
	60%	0.112	0.192	0.153	24	1501
	100%	0.332	0.414	0.375	79	1510
5%	20%	0.024	0.119	0.109	3	1503
	60%	0.106	0.193	0.154	25	1498
	100%	0.327	0.419	0.373	80	1507

ตารางที่ 4.4.2 สถานะแรงดันไฟฟ้าต่ำกว่าปกติ 2 เฟส (2Ø - Under Voltage)

PVUR (%)	Load (%)	I (A)			P (W) Pa+Pb+Pc	Speed (rpm)
		Ia	Ib	Ic		
1%	20%	0.057	0.079	0.086	2	1500
	60%	0.135	0.161	0.157	10	1501
	100%	0.375	0.395	0.394	70	1501
	20%	0.051	0.079	0.094	3	1500
	60%	0.127	0.164	0.165	10	1500
	100%	0.370	0.398	0.404	67	1500
	20%	0.041	0.080	0.100	3	1500
	60%	0.120	0.170	0.173	10	1500
	100%	0.362	0.401	0.414	63	1501
4%	20%	0.032	0.085	0.105	4	1501
	60%	0.107	0.173	0.179	13	1500
	100%	0.356	0.403	0.426	54	1500
5%	20%	0.027	0.091	0.111	3	1500
	60%	0.104	0.184	0.189	9	1500
	100%	0.350	0.417	0.436	52	1500

ตารางที่ 4.4.3 สถานะแรงดันไฟฟ้าสูงกว่าปกติ 1 เฟส (1Ø - Over Voltage)

PVUR (%)	Load (%)	I (A)			P (W) Pa+Pb+Pc	Speed (rpm)
		Ia	Ib	Ic		
1%	20%	0.078	0.075	0.074	2	1497
	60%	0.155	0.149	0.147	12	1500
	100%	0.399	0.386	0.387	72	1505
2%	20%	0.100	0.083	0.081	2	1501
	60%	0.173	0.149	0.154	12	1501
	100%	0.406	0.375	0.385	71	1500
3%	20%	0.118	0.085	0.082	2	1500
	60%	0.182	0.138	0.154	11	1500
	100%	0.416	0.365	0.385	68	1500
4%	20%	0.132	0.088	0.081	2	1500
	60%	0.194	0.133	0.157	15	1500
	100%	0.423	0.353	0.384	68	1500
5%	20%	0.146	0.052	0.081	2	1501
	60%	0.205	0.129	0.158	12	1500
	100%	0.431	0.345	0.384	70	1500

ตารางที่ 4.4.4 ສภาวะแรงดันไฟฟ้าสูงกว่าปกติ 2 เฟส (2Ø - Over Voltage)

PVUR (%)	Load (%)	I (A)			P (W) Pa+Pb+Pc	Speed (rpm)
		Ia	Ib	Ic		
1%	20%	0.086	0.096	0.081	3	1500
	60%	0.156	0.161	0.143	14	1500
	100%	0.383	0.380	0.363	75	1500
	20%	0.100	0.116	0.082	5	1500
	60%	0.171	0.167	0.137	12	1499
	100%	0.390	0.378	0.351	79	1499
	20%	0.115	0.131	0.078	4	1499
	60%	0.184	0.176	0.127	19	1500
	100%	0.396	0.375	0.334	84	1500
3%	20%	0.127	0.148	0.078	5	1500
	60%	0.193	0.185	0.119	24	1500
	100%	0.401	0.374	0.319	90	1500
	20%	0.141	0.167	0.078	11	1500
	60%	0.203	0.195	0.112	48	1500
	100%	0.407	0.374	0.306	94	1500

ตารางที่ 4.4.5 ສภาวะแรงดันไฟฟ้าสมดุล

Load (%)	I (A)			P (W) Pa+Pb+Pc	Speed (rpm)
	Ia	Ib	Ic		
20%	0.078	0.085	0.085	3	1501
60%	0.143	0.156	0.149	12	1499
100%	0.360	0.370	0.360	75	1499

จากผลการทดสอบค่ากระแสไฟฟ้าและกำลังไฟฟ้าที่ได้จากการทดสอบมอเตอร์ซิ่งโครนัสในสถานะที่แรงดันไฟฟ้าไม่สมดุลขณะขับกระแสทางกลที่สถานะไฟลดต่างกัน พบว่าค่ากระแสไฟฟ้าในแต่เฟسمีค่าเพิ่มขึ้นตามสถานะความไม่สมดุลของแรงดันไฟฟ้าที่สูงขึ้นและมีค่าเพิ่มขึ้นตามกระแสทางกลที่เพิ่มขึ้น ส่วนกำลังไฟฟ้าทั้ง 3 เฟสมีค่าเพิ่มขึ้นตามสถานะความไม่สมดุลของแรงดันไฟฟ้าที่สูงขึ้นและมีค่าเพิ่มขึ้นตามกระแสทางกลที่เพิ่มขึ้นหันเดียวกันค่ากระแส

#### 4.5 ค่าตัวประกอบกำลังไฟฟ้าที่ได้จากการทดสอบมอเตอร์ซิ่งโครนัสในสถานะที่แรงดันไฟฟ้าไม่สมดุล ขณะขับกระแสทางกล

##### 4.5.1 ผลของการทดสอบกับมอเตอร์ซิ่งโครนัส

ตารางที่ 4.5.1 สถานะแรงดันไฟฟ้าต่ำกว่าปกติ 1 เมฟ (1Ø - Under Voltage)

	PVUR (%)	Load (%)	Cos $\theta$		
			Phase A	Phase B	Phase C
1%	20%	0.08	0.20	0.14	
	60%	0.64	0.88	0.67	
	100%	0.93	0.92	0.93	
2%	20%	0.11	0.56	0.48	
	60%	0.27	0.90	0.64	
	100%	0.94	0.94	0.92	
3%	20%	0.18	0.47	0.35	
	60%	0.47	0.93	0.71	
	100%	0.93	0.94	0.89	
4%	20%	0.05	0.50	0.11	
	60%	0.30	0.91	0.70	
	100%	0.94	0.95	0.91	
5%	20%	0.09	0.78	0.20	
	60%	0.38	0.93	0.50	
	100%	0.95	0.95	0.89	

ตารางที่ 4.5.2 สถานะแรงดันไฟฟ้าต่ำกว่าปกติ 2 เฟส (2Ø - Under Voltage)

PVUR (%)	Load (%)	$\cos \theta$		
		Phase A	Phase B	Phase C
1%	20%	0.06	20	0.1
	60%	0.65	0.77	0.65
	100%	0.90	0.92	0.94
2%	20%	0.08	0.11	0.05
	60%	0.61	0.81	0.59
	100%	0.91	0.92	0.95
3%	20%	0.18	0.12	0.20
	60%	0.70	0.72	0.65
	100%	0.90	0.92	0.95
4%	20%	0.29	0.11	0.05
	60%	0.81	0.64	0.47
	100%	0.89	0.90	0.95
5%	20%	0.33	0.10	0.45
	60%	0.76	0.63	0.84
	100%	0.88	0.87	0.97

ตารางที่ 4.5.3 ศักยภาพแรงดันไฟฟ้าสูงกว่าปกติ 1 เฟส ( $1\varnothing$  - Over Voltage)

PVUR (%)	Load (%)	$\cos \theta$		
		Phase A	Phase B	Phase C
1%	20%	0.17	0.41	0.38
	60%	0.37	0.90	0.78
	100%	0.92	0.96	0.94
	20%	0.08	0.25	0.16
	60%	0.47	0.90	0.85
	100%	0.92	0.96	0.94
2%	20%	0.19	0.46	0.30
	60%	0.25	0.92	0.70
	100%	0.92	0.96	0.93
3%	20%	0.11	0.50	0.28
	60%	0.24	0.93	0.72
	100%	0.91	0.97	0.94
4%	20%	0.12	0.33	0.27
	60%	0.42	0.92	0.73
	100%	0.91	0.97	0.94
5%	20%	0.12	0.33	0.27
	60%	0.42	0.92	0.73
	100%	0.91	0.97	0.94

ตารางที่ 4.5.4 สถานะแรงดันไฟฟ้าสูงกว่าปกติ 2 เฟส (2Ø - Over Voltage)

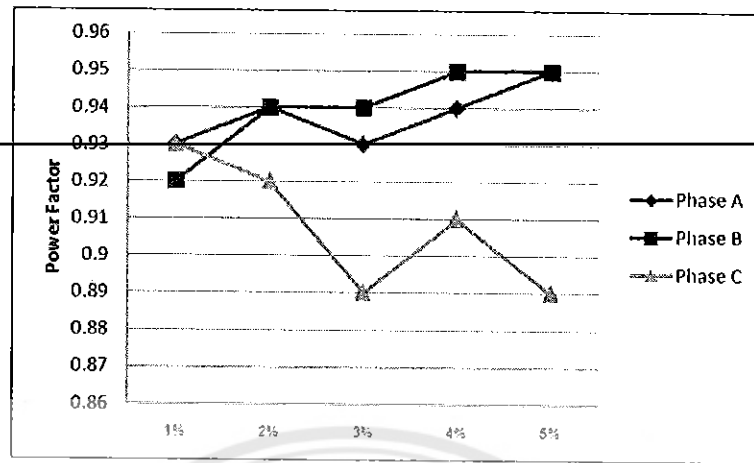
PVUR (%)	Load (%)	Cos $\theta$		
		Phase A	Phase B	Phase C
1%	20%	0.16	0.23	0.16
	60%	0.58	0.78	0.59
	100%	0.93	0.92	0.95
	2%	0.20	0.34	0.15
	60%	0.73	0.78	0.56
	100%	0.93	0.90	0.93
	3%	0.18	0.32	0.19
	60%	0.74	0.75	0.78
	100%	0.93	0.88	0.94
4%	20%	0.10	0.29	0.05
	60%	0.75	0.72	0.30
	100%	0.94	0.86	0.93
	5%	0.46	0.30	0.35
	60%	0.84	0.60	0.76
	100%	0.94	0.85	0.93

ตารางที่ 4.5.5 สถานะแรงดันไฟฟ้าสมดุล

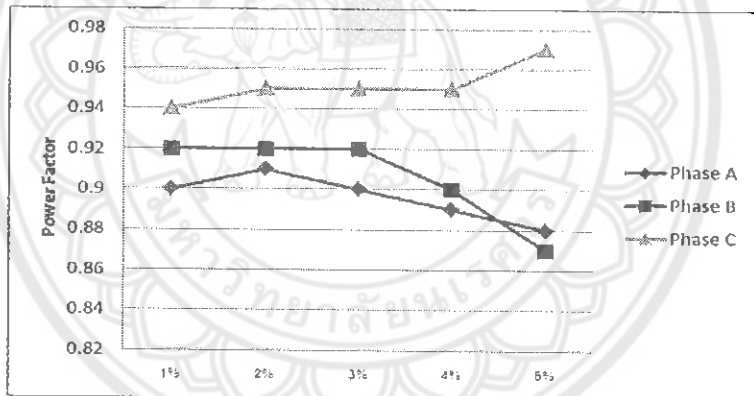
Load (%)	Cos $\theta$		
	Phase A	Phase B	Phase C
20%	0.35	0.38	0.38
60%	0.77	0.79	0.78
100%	0.94	0.96	0.94

จากตารางด้านบน ค่า Cos  $\theta$  ของแต่ละเฟสจะลดลงเมื่อเพิ่มระดับความดันไฟฟ้า แต่ค่า Cos  $\theta$  จะเพิ่มขึ้นเมื่อเพิ่มระดับความดันไฟฟ้า แต่ค่า Cos  $\theta$  จะลดลงเมื่อเพิ่มระดับความดันไฟฟ้า

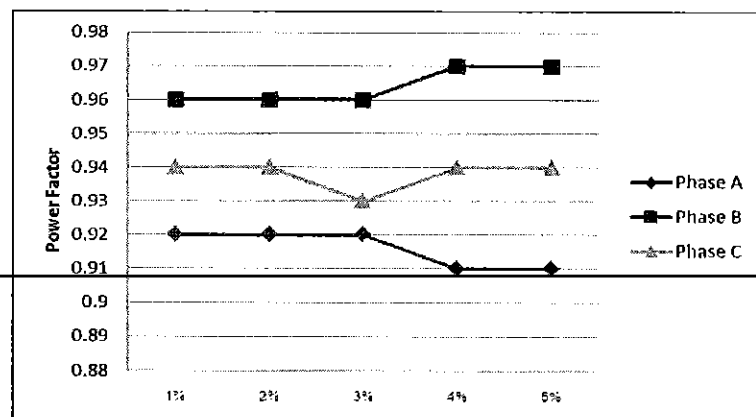
#### 4.6 กราฟตัวประกอบกำลังไฟฟ้าในสภาวะโหลดพิเศษ



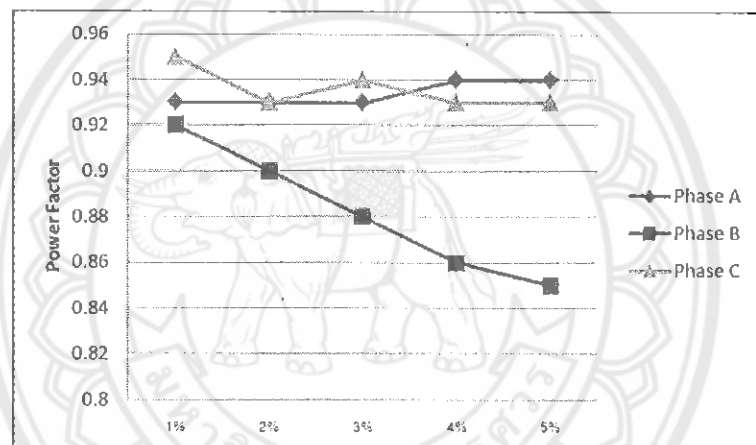
รูปที่ 4.4 Under Voltage 1 Phase



รูปที่ 4.5 Over Voltage 1 Phase



รูปที่ 4.6 Over Voltage 2 Phase



รูปที่ 4.7 Under Voltage 2 Phase

จากราฟตัวประกอบกำลังไฟฟ้าขณะขับการทางกลที่พิกัด(โหลด 100%) พบว่าค่าตัวประกอบกำลังไฟฟ้ามีค่าใกล้เคียงกัน โดยจะมีค่าใกล้หนึ่ง

## 4.7 กำลังสูญเสียในขดลวด

### 4.7.1 สภาวะไฟร้ายแรงทางกล

ตารางที่ 4.7.1 กำลังสูญเสียในขดลวดสภาวะไฟร้ายแรงทางกล

กรณี	Copper Loss (W)
Balance Voltage	0.417903
1Ø - Under Voltage Unbalance 1 %	0.418209
1Ø - Under Voltage Unbalance 2 %	0.612849
1Ø - Under Voltage Unbalance 3 %	0.639113
1Ø - Under Voltage Unbalance 4 %	0.708421
1Ø - Under Voltage Unbalance 5 %	0.820948
2Ø - Under Voltage Unbalance 1 %	0.546906
2Ø - Under Voltage Unbalance 2 %	0.477073
2Ø - Under Voltage Unbalance 3 %	0.463788
2Ø - Under Voltage Unbalance 4 %	0.509804
2Ø - Under Voltage Unbalance 5 %	0.565172
1Ø - Over Voltage Unbalance 1 %	0.75802
1Ø - Over Voltage Unbalance 2 %	0.897511
1Ø - Over Voltage Unbalance 3 %	1.057802
1Ø - Over Voltage Unbalance 4 %	1.234918
1Ø - Over Voltage Unbalance 5 %	1.463338
2Ø - Over Voltage Unbalance 1 %	0.885799
2Ø - Over Voltage Unbalance 2 %	1.110767
2Ø - Over Voltage Unbalance 3 %	1.439697
2Ø - Over Voltage Unbalance 4 %	1.816259
2Ø - Over Voltage Unbalance 5 %	2.351147

จากตารางค่ากำลังสูญเสียในขดลวดสภาวะไฟร้ายแรงทางกล พบว่ามีค่าเพิ่มขึ้นตามสภาวะแรงไฟฟ้าไม่สมดุลที่เพิ่มขึ้น

#### 4.7.2 ສភາວະໄໂຫດພຶກັດ

ຕາງທີ 4.7.2 ກໍາລັງສູນເສີຍໃນຂດລວດສភາວະໄໂຫດພຶກັດ

ຄຣົມ	Copper Loss
	(W)
Balance Voltage	17.30957
1Ø - Under Voltage Unbalance 1 %	17.83371
1Ø - Under Voltage Unbalance 2 %	18.08905
1Ø - Under Voltage Unbalance 3 %	18.36195
1Ø - Under Voltage Unbalance 4 %	18.45211
1Ø - Under Voltage Unbalance 5 %	18.42475
2Ø - Under Voltage Unbalance 1 %	19.74742
2Ø - Under Voltage Unbalance 2 %	20.03732
2Ø - Under Voltage Unbalance 3 %	20.24363
2Ø - Under Voltage Unbalance 4 %	20.56614
2Ø - Under Voltage Unbalance 5 %	21.25939
1Ø - Over Voltage Unbalance 1 %	20.01311
1Ø - Over Voltage Unbalance 2 %	19.82608
1Ø - Over Voltage Unbalance 3 %	19.86191
1Ø - Over Voltage Unbalance 4 %	19.70844
1Ø - Over Voltage Unbalance 5 %	19.76298
2Ø - Over Voltage Unbalance 1 %	18.47889
2Ø - Over Voltage Unbalance 2 %	18.27468
2Ø - Over Voltage Unbalance 3 %	17.87317
2Ø - Over Voltage Unbalance 4 %	17.58654
2Ø - Over Voltage Unbalance 5 %	17.44334

ຈາກຕາງທີ ກໍາລັງສູນເສີຍໃນຂດລວດສភາວະຂັບກາຮະທາງກລ ພບວ່າມີຄ່າເພີມຈິ້ນຕາມສភາວະແຮງໄຟຟ້າໄຟ້ສົມດູດທີ່ເພີ່ມຈິ້ນ ໂດຍມີຄ່ານາກວ່າໃນສភາວະໄຮກາຮະທາງກລ

## 4.8 ประสิทธิภาพของมอเตอร์

กำหนดให้กำลังสูญเสียอื่นๆ นอกจากกำลังสูญเสียในขดลวดมีค่าคงที่

### 4.8.1 สภาวะไร้ภาระทางกล

ตารางที่ 4.8.1 ประสิทธิภาพสภาวะไร้ภาระทางกล

กรณี	Efficiency (%)
Balance Voltage	79.10485
1Ø - Under Voltage Unbalance 1 %	79.08955
1Ø - Under Voltage Unbalance 2 %	69.35755
1Ø - Under Voltage Unbalance 3 %	68.04435
1Ø - Under Voltage Unbalance 4 %	64.57895
1Ø - Under Voltage Unbalance 5 %	58.9526
2Ø - Under Voltage Unbalance 1 %	72.6547
2Ø - Under Voltage Unbalance 2 %	76.14635
2Ø - Under Voltage Unbalance 3 %	76.8106
2Ø - Under Voltage Unbalance 4 %	74.5098
2Ø - Under Voltage Unbalance 5 %	71.7414
1Ø - Over Voltage Unbalance 1 %	74.73267
1Ø - Over Voltage Unbalance 2 %	70.08297
1Ø - Over Voltage Unbalance 3 %	64.73993
1Ø - Over Voltage Unbalance 4 %	58.83607
1Ø - Over Voltage Unbalance 5 %	51.22207
2Ø - Over Voltage Unbalance 1 %	77.85503
2Ø - Over Voltage Unbalance 2 %	72.23083
2Ø - Over Voltage Unbalance 3 %	64.00758
2Ø - Over Voltage Unbalance 4 %	54.59353
2Ø - Over Voltage Unbalance 5 %	41.22133

จากตารางค่าประสิทธิภาพสภาวะไร้ภาระทางกล พบว่ามีค่าลดลงตามสภาวะแรงไฟฟ้าไม่สมดุลที่เพิ่มขึ้น

#### 4.8.2 ສភາວະໂຫດພຶກັດ

ຕາງໆທີ່ 4.8.2 ປະສິທິກາພສភາວະໂຫດພຶກັດ

ຄຣົນີ	Efficiency
	(%)
Balance Voltage	76.92057
1Ø - Under Voltage Unbalance 1 %	77.70786
1Ø - Under Voltage Unbalance 2 %	77.94018
1Ø - Under Voltage Unbalance 3 %	76.75703
1Ø - Under Voltage Unbalance 4 %	76.6429
1Ø - Under Voltage Unbalance 5 %	76.96906
2Ø - Under Voltage Unbalance 1 %	71.7894
2Ø - Under Voltage Unbalance 2 %	70.09355
2Ø - Under Voltage Unbalance 3 %	67.86725
2Ø - Under Voltage Unbalance 4 %	61.91456
2Ø - Under Voltage Unbalance 5 %	59.11656
1Ø - Over Voltage Unbalance 1 %	72.20401
1Ø - Over Voltage Unbalance 2 %	72.07594
1Ø - Over Voltage Unbalance 3 %	70.79131
1Ø - Over Voltage Unbalance 4 %	71.017
1Ø - Over Voltage Unbalance 5 %	71.76717
2Ø - Over Voltage Unbalance 1 %	75.36148
2Ø - Over Voltage Unbalance 2 %	76.86749
2Ø - Over Voltage Unbalance 3 %	78.72242
2Ø - Over Voltage Unbalance 4 %	80.4594
2Ø - Over Voltage Unbalance 5 %	81.44326

ຈາກຕາງໆຄ່າປະສິທິກາພໃນສភາວະຫັບກາຮະທາງກລື້ໄຫດພຶກັດ(ໄຫດ 100%) ພບວ່າມີຄ່າລດລອງຕາມສភາວະແຮງໄຟຟ້າໄມ່ສົມດູຄຸກທີ່ເພີ່ມຂຶ້ນ ໂດຍມີບາງຄ່າມີແນວໄນວທີ່ຜົດເພື່ອຢ່າງ ທັງນີ້ຈຳເກີດຈາກຄວາມຜົດພລາດຂອງເຄົ່ອງວັດ ຮ້ອງຜູ້ວັດເອງ

## บทที่ 5

### บทสรุปและวิจารณ์โครงงาน

#### 5.1 วิเคราะห์และสรุปผลการทดสอบ

##### 5.1.1 วิเคราะห์และสรุปผลการทดสอบการทดสอบมอเตอร์ในสภาพไร้ภาระทางกล

เมื่อจ่ายแรงดันไฟฟ้าไม่สมดุลสภาวะต่างๆ ให้มอเตอร์ตัวเดียว สังเกตแนวโน้มค่ากระแสและกำลังไฟฟ้าตามเปอร์เซ็นต์ความไม่สมดุลที่เพิ่มขึ้นได้ดังนี้

สภาวะแรงดันไฟฟ้าไม่สมดุลต่ำกว่าปกติ 1 เฟส กระแสในเฟสที่แรงดันไฟฟ้าต่ำกว่าปกติ (เฟส A) มีค่าลดลง ในขณะที่กระแสไฟฟ้าในเฟสอื่นมีแนวโน้มเพิ่มขึ้นเล็กน้อย สำหรับกำลังไฟฟ้ารวม มีแนวโน้มลดลง ตามเปอร์เซ็นต์ความไม่สมดุล

สภาวะแรงดันไฟฟ้าไม่สมดุลต่ำกว่าปกติ 2 เฟส กระแสในเฟส A และ B มีแนวโน้มลดลง ในขณะที่กระแสในเฟส C มีแนวโน้มเพิ่มขึ้น สำหรับกำลังไฟฟ้ารวม มีแนวโน้มลดลง ตามเปอร์เซ็นต์ความไม่สมดุล

สภาวะแรงดันไฟฟ้าไม่สมดุลสูงกว่าปกติ 1 เฟส กระแสในเฟสที่แรงดันไฟฟ้าสูงกว่าปกติ (เฟส A) มีค่าเพิ่มขึ้น ในขณะที่กระแสในเฟส B มีค่าเพิ่มขึ้น ล่วงกระแสในเฟส C มีแนวโน้มลดลง สำหรับกำลังไฟฟ้ารวม มีแนวโน้มเพิ่มขึ้น ตามเปอร์เซ็นต์ความไม่สมดุล

สภาวะแรงดันไฟฟ้าไม่สมดุลสูงกว่าปกติ 2 เฟส กระแสเข้ามอเตอร์ในเฟสที่แรงดันไฟฟ้าสูงกว่าปกติ (เฟส A และ B) มีแนวโน้มเพิ่มขึ้น แต่กำลังไฟฟ้ารวม มีแนวโน้มเพิ่มขึ้นตามเปอร์เซ็นต์ความไม่สมดุล

##### 5.1.2 วิเคราะห์และสรุปผลการทดสอบการทดสอบมอเตอร์ในสภาพขับภาระทางกล

เมื่อจ่ายแรงดันไฟฟ้าไม่สมดุลสภาวะต่างๆ ให้กับมอเตอร์ พบร่วมค่ากระแสและกำลังไฟฟ้าในแต่ละเฟสเพิ่มขึ้นตามเปอร์เซนต์โหลดคล้ายกับขณะไร้ภาระทางกล

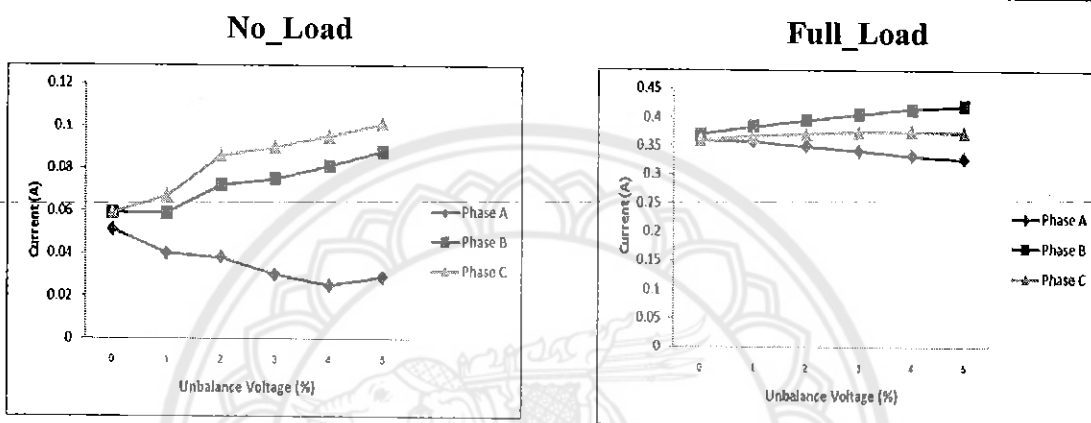
##### 5.1.3 อภิปรายผลการวิจัย

เมื่อมอเตอร์ได้รับแรงดันไฟฟ้าไม่สมดุลต่ำกว่าพิกัดจะเกิดสภาวะ Under Excite เมื่อจากได้รับแรงดันไฟฟ้าต่ำกว่าที่ถูกออกแบบไว้ จะทำให้ความเร็วมอเตอร์ลดลงเมื่อจ่ายภาระทางกล และจะใช้กระแสไฟฟ้านานขึ้น เพื่อมาสร้างแรงบิดต้านกับภาระทางกล ทำให้กำลังสูญเสียที่ขาดลวงสูงขึ้น และในอีกรัตน์เมื่อมอเตอร์อยู่ในสภาวะ Over Excite จะทำให้กำลังสูญเสียที่แกนเหล็กสูงกว่าปกติ ซึ่งไม่ว่ามอเตอร์จะรับแรงดันไฟฟ้าไม่สมดุลแบบใดก็ตาม จะทำให้กำลังสูญเสียรวมของมอเตอร์สูงกว่าเมื่อเทียบกับมอเตอร์ได้รับแรงดันไฟฟ้าสมดุล

จากผลการทดสอบสามารถเปรียบเทียบค่ากระแสไฟฟ้าและประสิทธิภาพของมอเตอร์ชิงโคลนส์ในสภาวะที่มอเตอร์ทำงานโดยไม่มีภาระทางกลต่ออยู่(No\_Load) และในสภาวะที่มีภาระทางกลต่ออยู่ในระดับที่มอเตอร์ทำงานเต็มพิกัด(Full\_Load) ต่อไปนี้

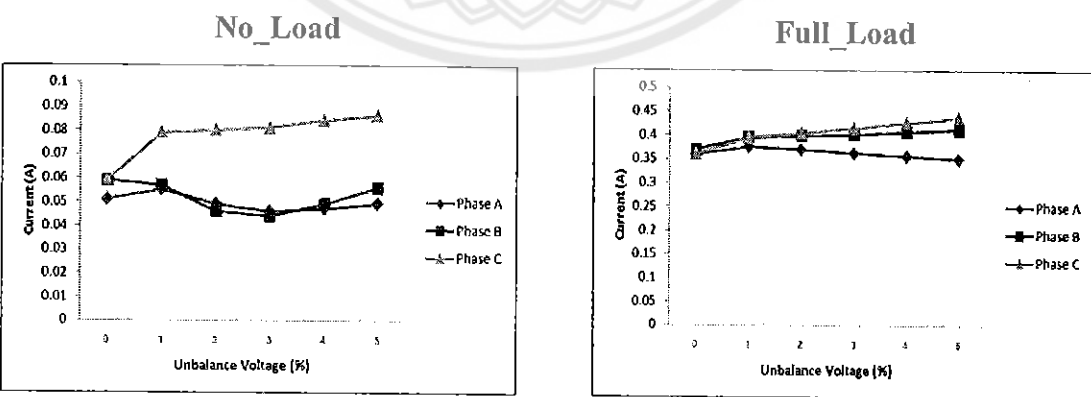
## 5.2 กราฟเปรียบเทียบกระแสระหว่าง No\_Load กับ Full\_Load

Under Voltage 1 Phase



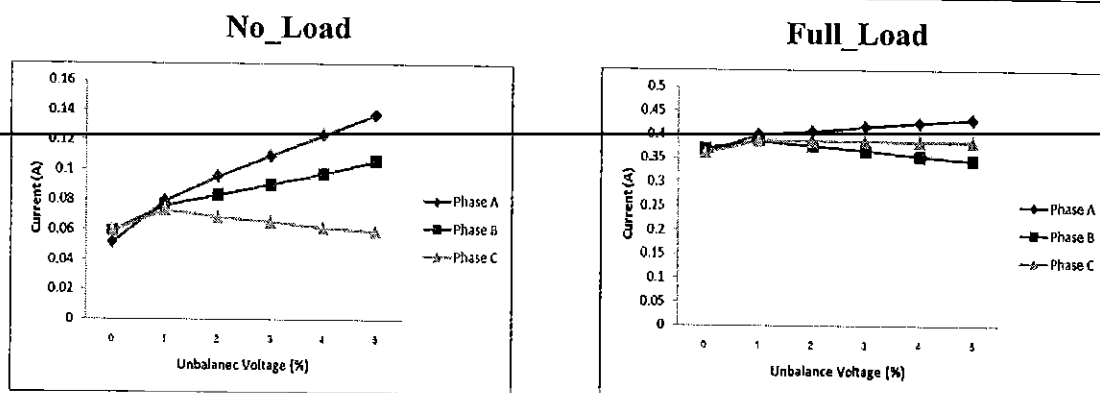
รูปที่ 5.1 กราฟเปรียบเทียบกระแสไฟฟ้า Under Voltage 1 Phase

Under Voltage 2 Phase



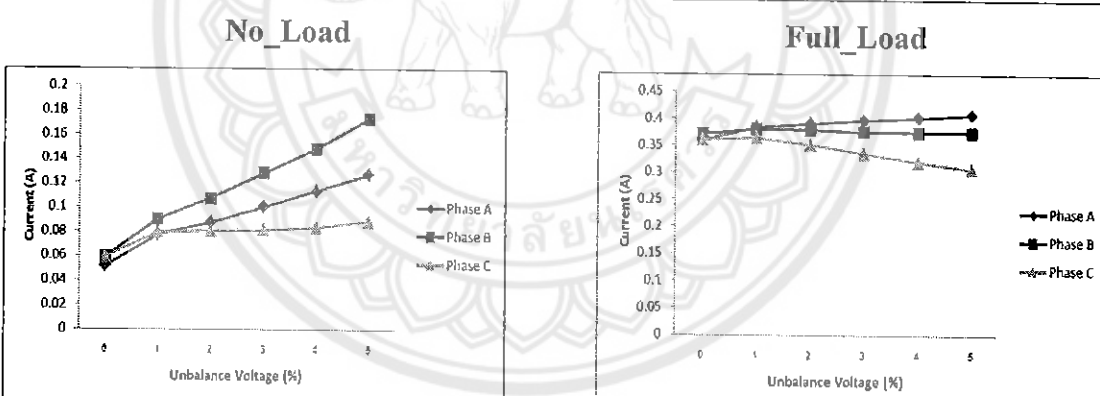
รูปที่ 5.2 กราฟเปรียบเทียบกระแสไฟฟ้า Under Voltage 2 Phase

### Over Voltage 1 Phase



รูปที่ 5.3 กราฟเปรียบเทียบกระแสไฟฟ้า Over Voltage 1 Phase

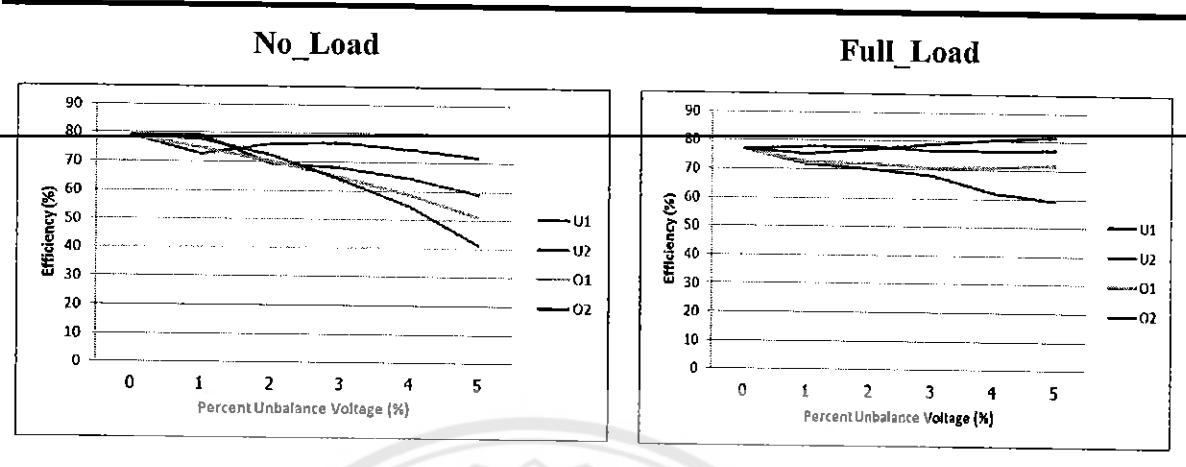
### Over Voltage 2 Phase



รูปที่ 5.4 กราฟเปรียบเทียบกระแสไฟฟ้า Over Voltage 2 Phase

จากกราฟเปรียบเทียบกระแสในสภาวะไว้ภาระทางกลและขับภาระทางกลที่โหลดพิถีพิถัน (โหลด 100%) แสดงให้เห็นว่าทิศทางการเพิ่มขึ้นของกระแสเมื่อทิศทางเพิ่มขึ้นตามสภาวะความไม่สมดุลของแรงดันไฟฟ้าในลักษณะเดียวกัน แต่ค่ากระแสขับภาระทางกลที่โหลดพิถีพิถันจะมีค่ามากกว่าค่ากระแสในสภาวะไว้ภาระทางกล

### 5.3 กราฟเปรียบเทียบประสิทธิภาพ No\_Load กับ Full\_Load



รูปที่ 5.5 กราฟเปรียบเทียบประสิทธิภาพ

จากราฟเปรียบเทียบประสิทธิภาพในสภาวะไร้ภาระทางกลและขับภาระทางกลที่โหลดพิกัด(โหลด 100%) แสดงให้เห็นว่ามีทิศทางลดลงตามสภาวะความไม่สมดุลของแรงดันไฟฟ้าที่เพิ่มขึ้นในดัชนณะเดียวกัน

### 5.4 ข้อเสนอแนะ

ผลจากการศึกษาผลกระทบของแรงดันไฟฟ้าไม่สมดุลต่อมอเตอร์ซิงโครนัสสามารถนำผลไปประยุกต์ปรับใช้กับรีเลย์ที่ใช้ป้องกันการเสียหายที่จะเกิดในมอเตอร์เนื่องจากแรงดันไฟฟ้าไม่สมดุลได้ โดยเลือกตั้งค่าให้เหมาะสมตามความต้องการ เช่นการยอมรับให้มอเตอร์ทำงานที่โหลดพิกัด(โหลด 100%)ได้โดยประสิทธิภาพไม่ต่ำกว่า 71% ถ้าต่ำกว่า 71% ให้รีเลย์ตัดการทำงานของมอเตอร์ เป็นต้น

หมายเหตุ : รีเลย์คือเครื่องเปรียบเทียบแรงดันที่จ่ายเข้ามอเตอร์ คือถ้าแรงดันไม่ตกลงหรือไม่เกินตามที่ตั้งไว้ก็จะทำงานปกติ แต่ถ้าตกหรือเกิดก็จะตัดการทำงานมอเตอร์

### 5.5 ปัญหาและอุปสรรคที่พบในการทำโครงงาน

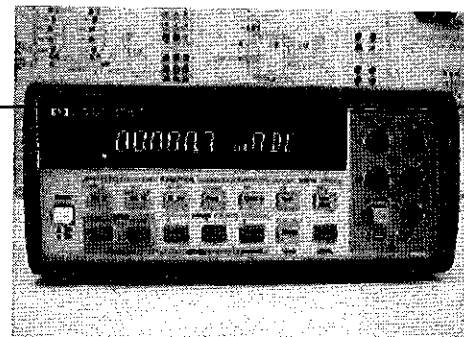
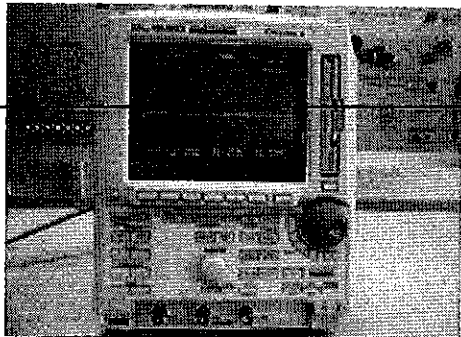
- 1) ปัญหาจากอุปกรณ์ในการทดสอบ ได้แก่ อุปกรณ์ในการทดสอบและเครื่องมือวัดที่ชำรุดส่งผลให้ผลการทดสอบผิดพลาดหรือคลาดเคลื่อนได้
- 2) ปัญหาระงดันในแต่ละเฟสที่ป้อนเข้าเครื่อง Variac ไม่คงที่

## เอกสารอ้างอิง

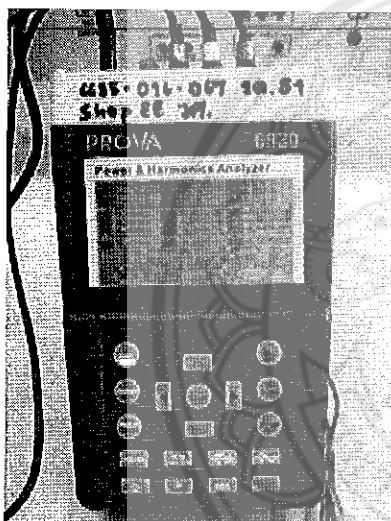
- [1] Stephen J. Chapman. **Electric Machines Fundamentals.** 4<sup>th</sup> Ed., Singapore : McGraw-Hill.  
2005.
- [2] Eastern Asia University. “**ELECTRO MECHANICAL ENERGY CONVERSION II.**”  
[Online]: เข้าถึงจาก: <http://course.eau.ac.th>. พ.ศ. 2551
- [3] G. PRECISION ENGINEERING LTD.,PART. “**มอเตอร์ไฟฟ้า (INDUCTION MOTOR).**”  
[Online]: เข้าถึงจาก: <http://www.gprecision.net/induction-motor.html>. พ.ศ. 2551
- [4] Machine design. “**No-power-no-problem.**”  
[Online]: เข้าถึงจาก: <http://www.machinedesign.com/article/no-power-no-problem-0518>.  
พ.ศ. 2551
- [5] Dictionary. “**Motor era.**” [Online]: เข้าถึงจาก: <http://www.motorera.com/dictionary/st.htm>  
พ.ศ. 2550
- [6] Jag-lovers. “**Induction Motor.**” [Online]: เข้าถึงจาก: <http://www.jag-lovers.org/xj-s/book/83F...ump.html>. พ.ศ. 2551
- [7] Global spec. “**Generator.**” [Online]: เข้าถึงจาก: <http://www.globalspec.com/reference/597...nerators>. พ.ศ. 2551
- [8] Global spec. “**Motor.**” [Online]: เข้าถึงจาก: <http://www.globalspec.com/reference/953...f-Motors>. พ.ศ. 2551
- [9] tpub. “**Unbalance Voltage**” [Online]: เข้าถึงจาก: [http://www.tpub.com/content/doe/h1011v4...4\\_32.htm](http://www.tpub.com/content/doe/h1011v4...4_32.htm). พ.ศ. 2551
- [10] Engineer.spu.ac.th. “**Content.**” [Online]: เข้าถึง  
จาก: <http://www.engineer.spu.ac.th/ee/content/0/1204.php>. พ.ศ. 2550



## อุปกรณ์การทดลอง

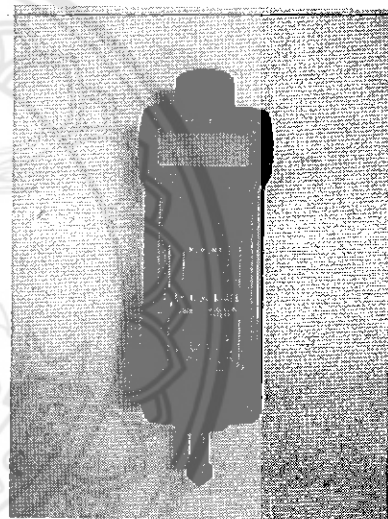


ออดิวซิลโลสโคป

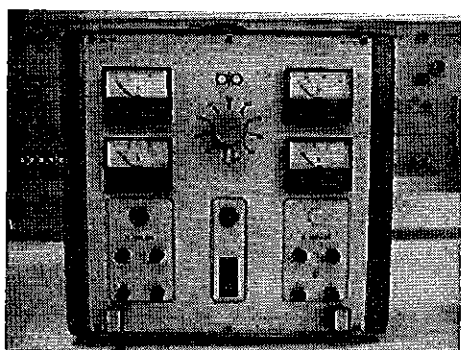


เครื่องวัด Power & Harmonics Analyzer

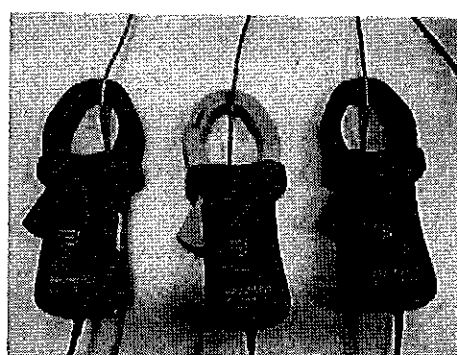
Multimeter



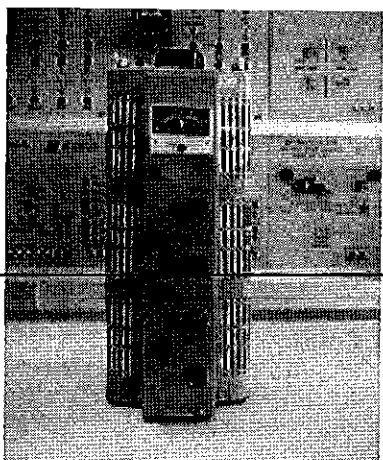
ทาโคมิเตอร์



Power Supply



แคมป์วัดกระแส



Variac



## ประวัติผู้ดำเนินโครงการ



ชื่อ นายคฑาวุช คำมา  
ภูมิลำเนา 148 หมู่ 1 ต.วัดป่า อ.หล่มสัก จ.เพชรบูรณ์ 67110  
ประวัติการศึกษา

- จบระดับมัธยมศึกษาจากโรงเรียนหล่มสักวิทยาคม
- ปัจจุบันกำลังศึกษาในระดับปริญญาตรีชั้นปีที่ 6  
สาขาวิชาวิศวกรรมไฟฟ้า คณะวิศวกรรมศาสตร์  
มหาวิทยาลัยนเรศวร

E-mail : [unplug2321@hotmail.com](mailto:unplug2321@hotmail.com)



ชื่อ นายพัชรพล ตาลตา  
ภูมิลำเนา 155 หมู่ 2 ต.ป่า อ.ป่า จ.น่าน 55120  
ประวัติการศึกษา

- จบระดับมัธยมศึกษาจากโรงเรียนป่า
- ปัจจุบันกำลังศึกษาในระดับปริญญาตรีชั้นปีที่ 5  
สาขาวิชาวิศวกรรมไฟฟ้า คณะวิศวกรรมศาสตร์  
มหาวิทยาลัยนเรศวร

E-mail : [popdreamteam@hotmail.com](mailto:popdreamteam@hotmail.com)